

СТОХАСТИЧЕСКИЕ МЕТОДЫ В ФИЗИКЕ ДЕЛЕНИЯ АТОМНЫХ ЯДЕР

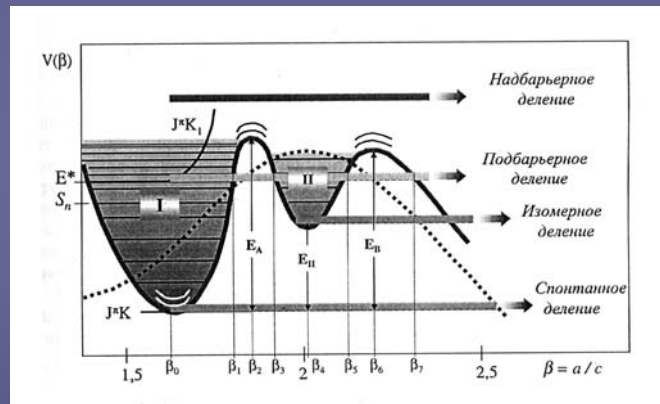
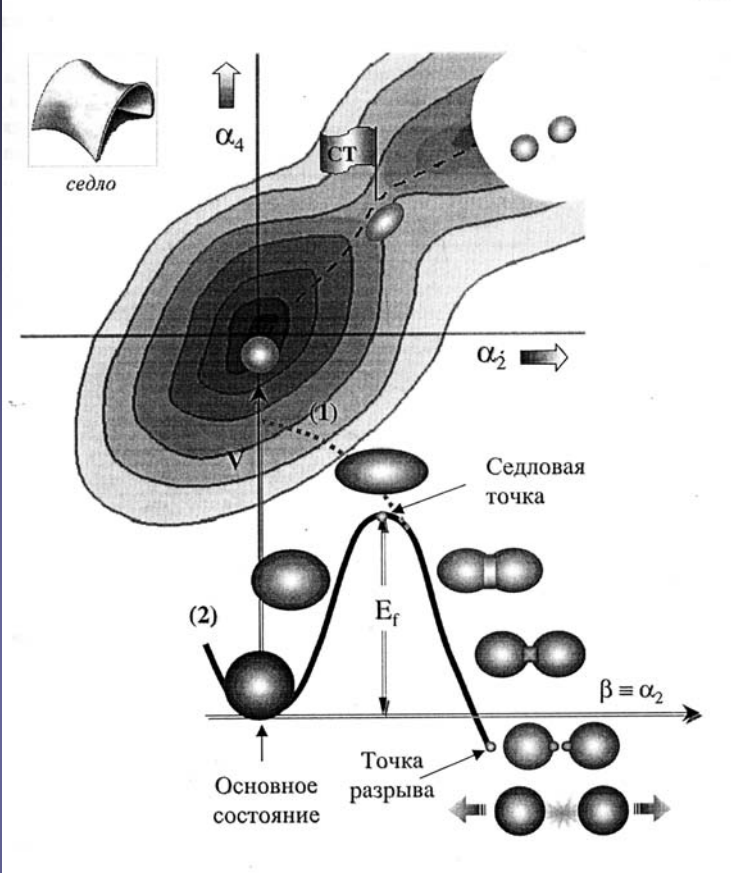
Статистическая модель

$$\Gamma_f^{BW} = \frac{1}{2\pi\rho(E^*, J)} \int_0^{E^*-B_f} d\varepsilon \frac{\rho_{sad}(E^* - B_f - \varepsilon, J)}{1 + e^{-2\pi\varepsilon/(\hbar\omega_{sad})}}$$

$$\tau_f = \frac{\hbar}{\Gamma_f^{BW} + \sum_i \Gamma_i}$$

$$P_f = \frac{\Gamma_f^{BW}}{\Gamma_f^{BW} + \sum_i \Gamma_i}$$

Bohr N., Wheeler J.A. The mechanism of nuclear fission
Physical Review. 1939. V.56. P.426-450.



Динамическая модель (стохастические уравнения)

Уравнение Фоккера-Планка

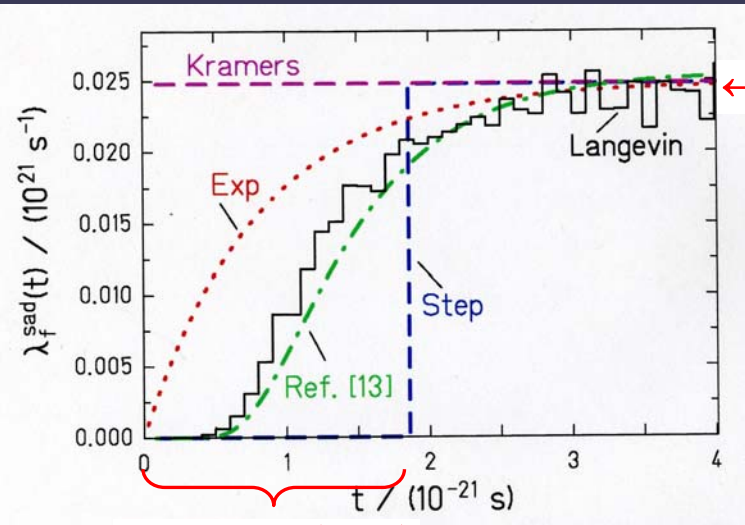
$$\frac{\partial f(x, p, t)}{\partial t} = -\frac{p}{m} \frac{\partial f}{\partial x} + \frac{\partial U(x)}{\partial x} \frac{\partial f}{\partial p} + \beta \frac{\partial}{\partial p} (fp) + \beta m T * \frac{\partial^2 f}{\partial p^2}$$

Kramers H.A. Brownian motion in a field of force and the diffusion model of chemical reactions.
Physica. 1940. V.7. P.284-304.

Уравнение Ланжевена

$$\begin{cases} \frac{dp}{dt} = -\frac{1}{2} \left(\frac{p}{m(r)} \right)^2 \frac{dm(r)}{dr} - \frac{dV}{dr} - \beta(r)p + f(t) \\ \frac{dr}{dt} = \frac{p}{m(r)} \end{cases}$$

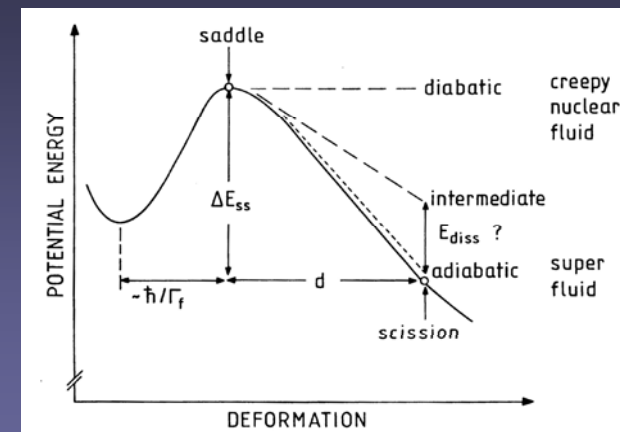
Ядерная диссипация - необратимая передача энергии коллективного ядерного движения одиноческим степеням свободы



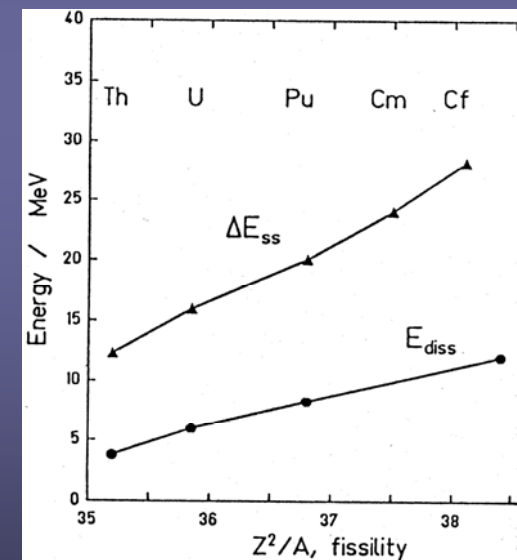
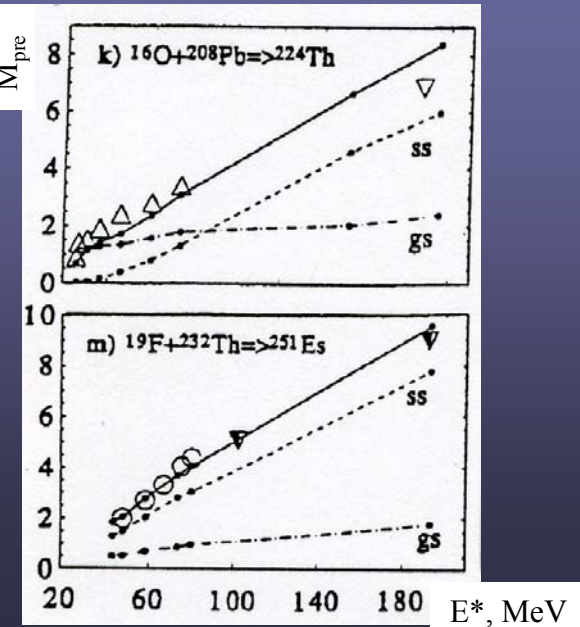
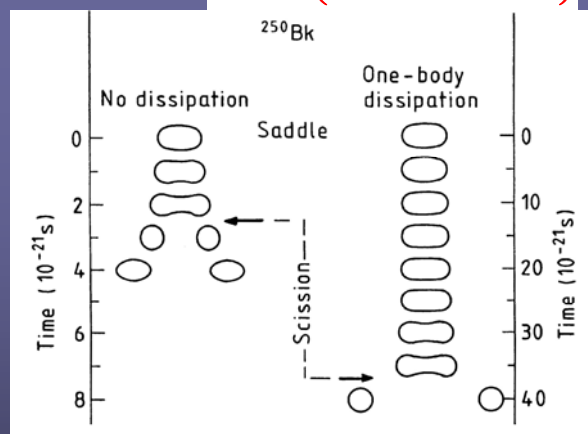
$$\tau_{trans} = \frac{\beta}{2\omega_{eq}^2} \ln\left(\frac{10B_f}{T}\right)$$

$$\Gamma_f = C_{Kram}(\beta) \Gamma_f^{BW}$$

$$C_{Kram} = \left[\sqrt{1 + \frac{\beta^2}{4\omega_{sad}^2}} - \frac{\beta}{2\omega_{sad}} \right] < 1$$

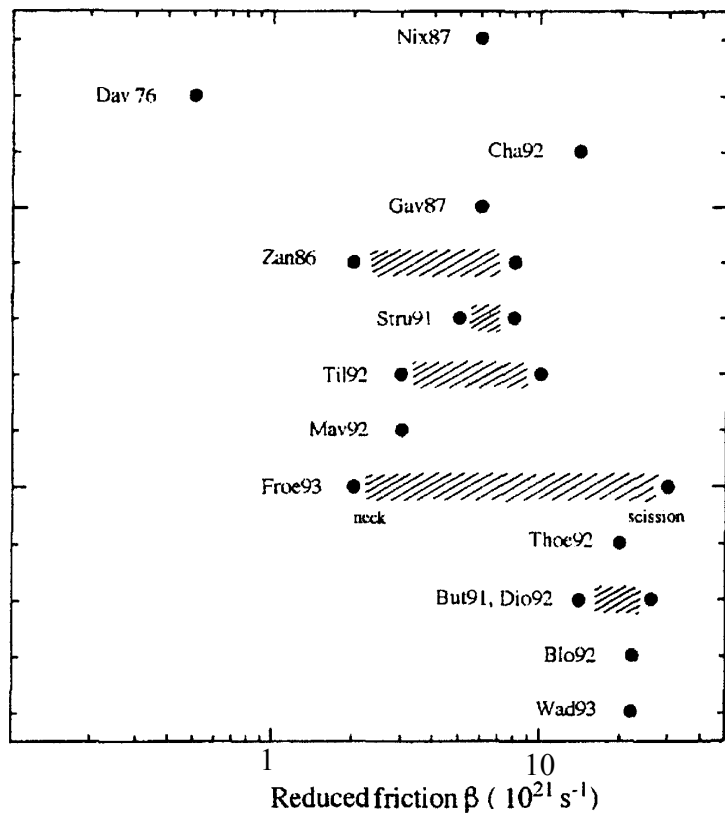


$$\tau_{ss} = \tau_{ss}^0 \left(\sqrt{1 + \left(\frac{\beta}{2\omega} \right)^2} + \frac{\beta}{2\omega} \right)$$

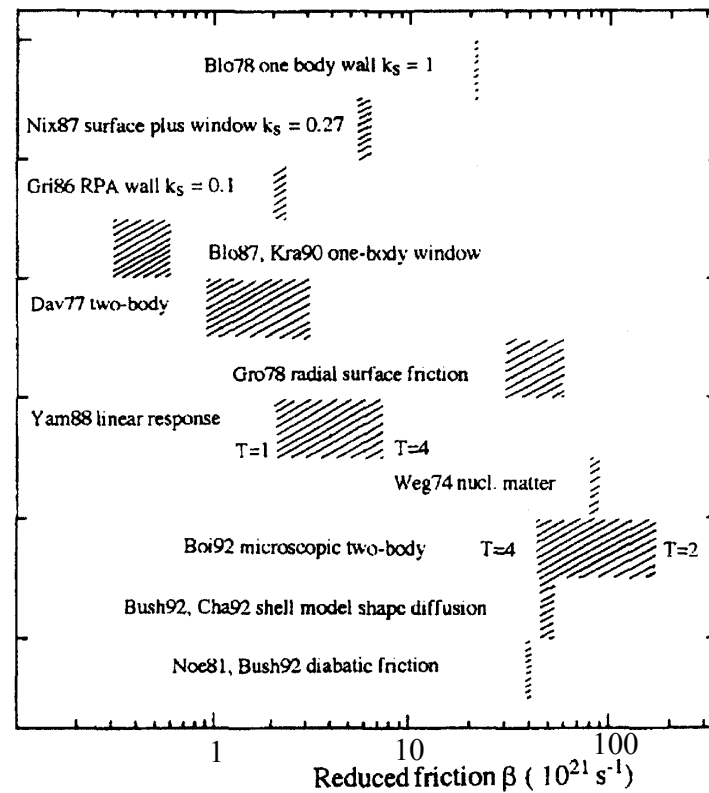


- ◆ Множественности легких частиц и γ -квантов;
- ◆ Сечения образования остатков испарения;
- ◆ массово-энергетические и зарядовые распределения осколков деления

underdamped <---- | ----> overdamped

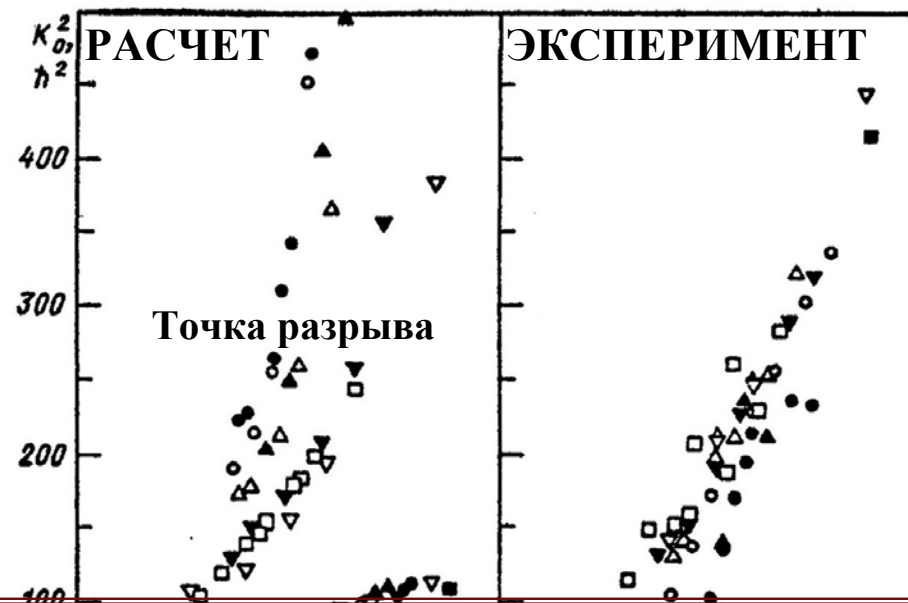


underdamped <---- | ----> overdamped

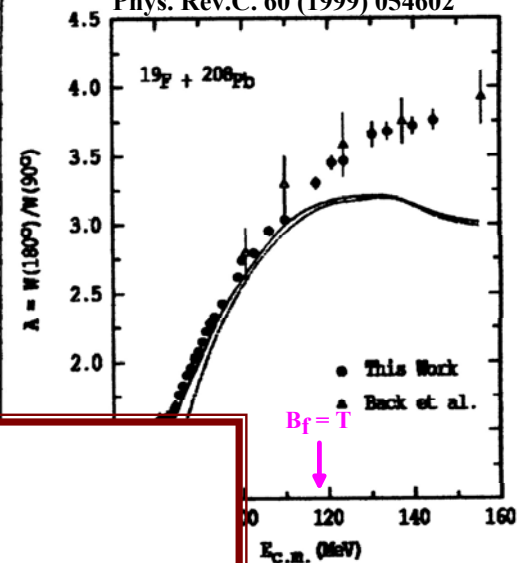


**Механизм ядерной диссипации ?
Амплитуда диссипативных сил ?**

СТАТИСТИЧЕСКИЕ МОДЕЛИ



D.J.Hinde et al., Limiting angular momentum for statistical model description of fission.
Phys. Rev.C. 60 (1999) 054602



ПРОБЛЕМА:

Динамический механизм
процесса формирования
угловых распределений
осколков деления.

Зависимость

Freifelder R.,
for fission-

еских моделей.

and experiment
of stability.

ДИНАМИКА КОЛЛЕКТИВНОГО ЯДЕРНОГО ДВИЖЕНИЯ ВО ВТОРОЙ ПОТЕНЦИАЛЬНОЙ ЯМЕ

Ядерная диссипации приводит к тому, что только часть ядер, преодолевших внутренний барьер деления, может достичь второй седловой точки с “первой попытки” – прямое деление.

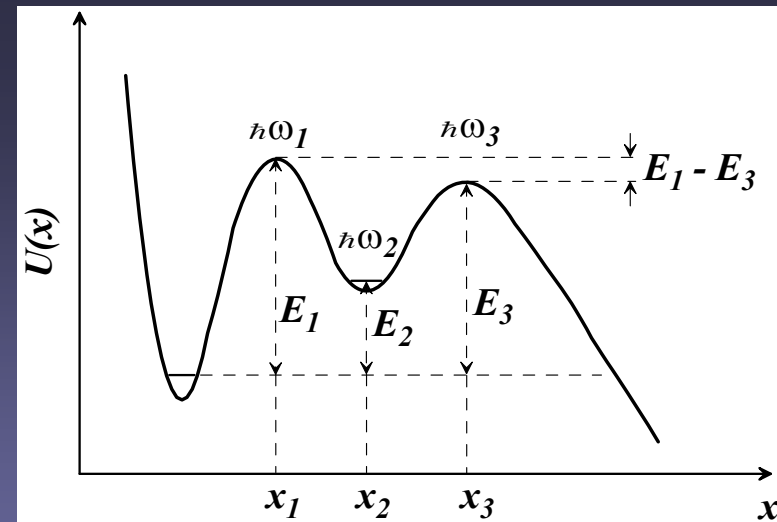
Уравнение Фоккера-Планка

$$\frac{\partial f}{\partial t} = -\frac{p}{m} \frac{\partial f}{\partial x} + \frac{\partial U(x)}{\partial x} \frac{\partial f}{\partial p} + \beta \frac{\partial}{\partial p} (f p) + \beta m T^* \frac{\partial^2 f}{\partial p^2}$$

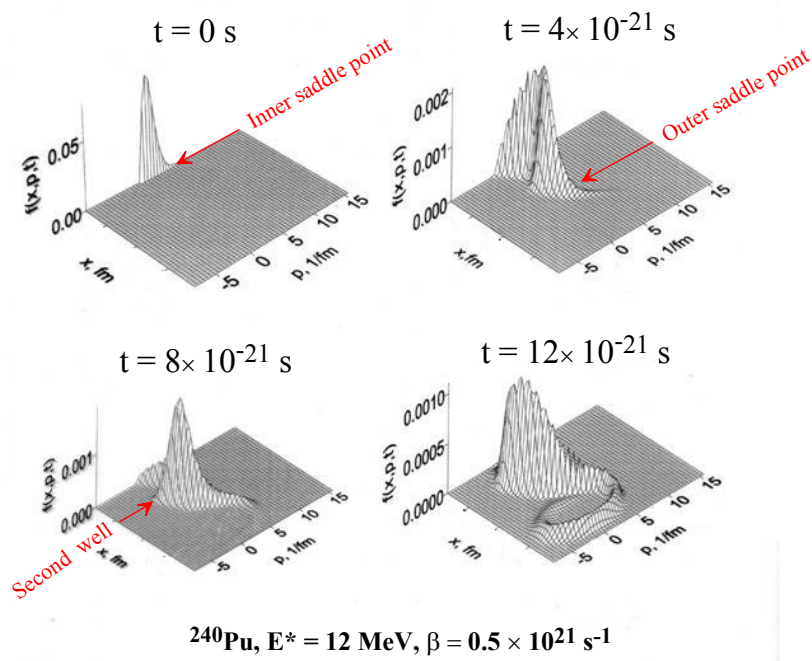
$$f(x, p, t=0) = f(p) \delta(x - x_1)$$

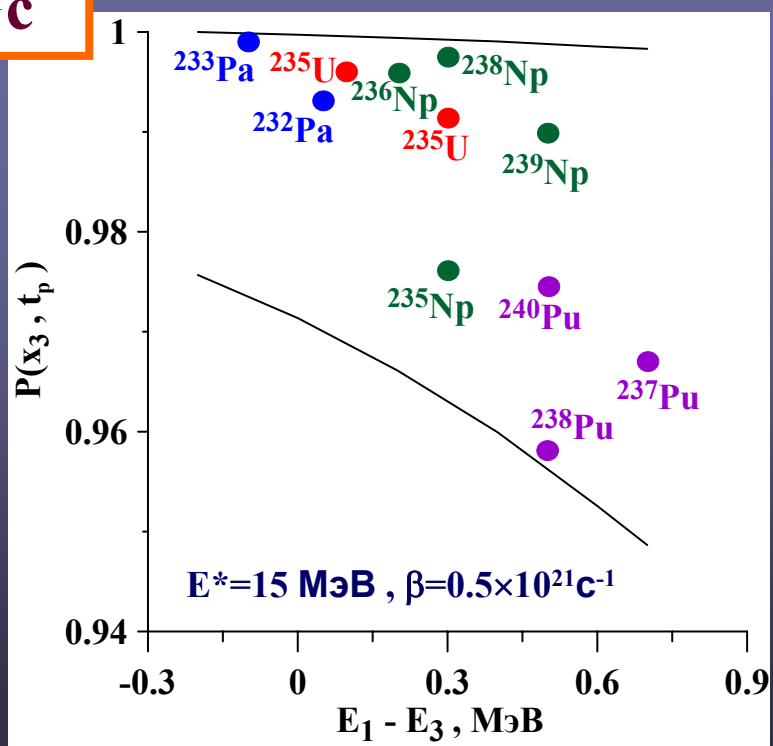
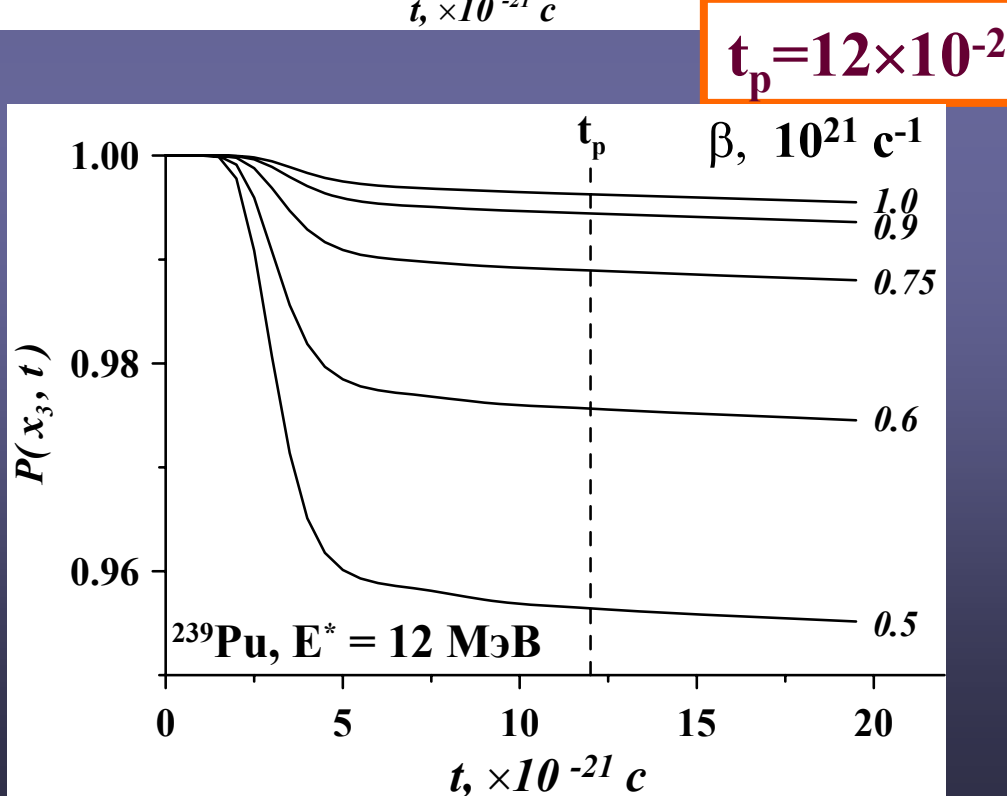
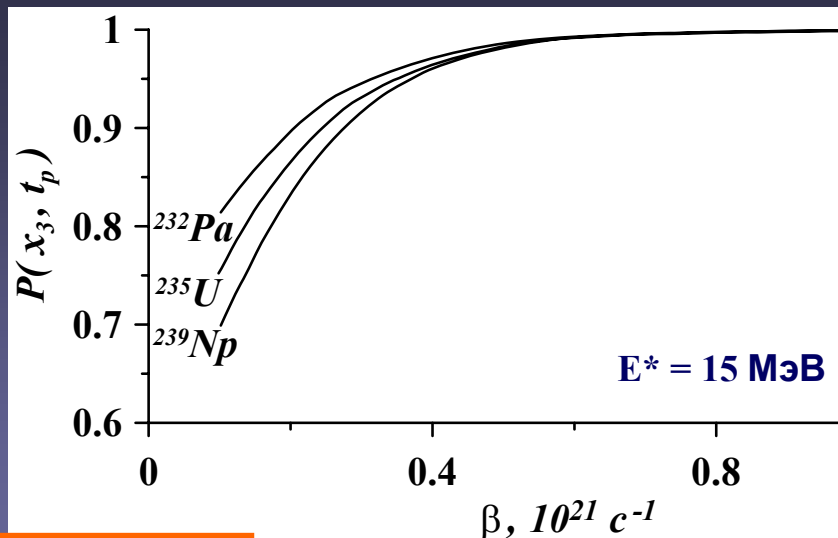
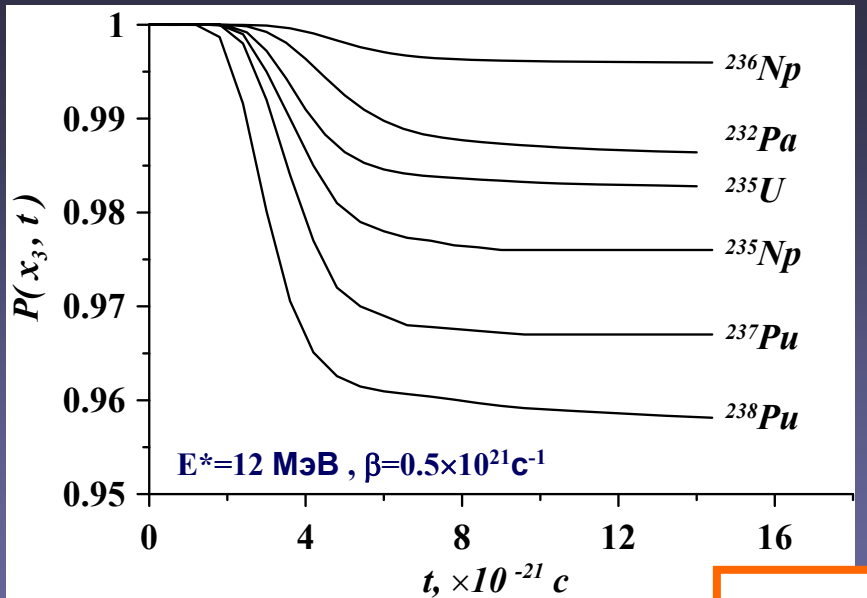
$$\Phi(\varepsilon) = C \frac{\rho(E^* - U(x_1) - \varepsilon)}{1 + \exp\left(\frac{2\pi\varepsilon}{\hbar\omega_1}\right)}$$

$$P(x_3, t) = \frac{\int_{-\infty}^{+\infty} dp \int_{x_1}^{x_3} dx f(x, p, t)}{\int_{-\infty}^{+\infty} dp \int_{x_1}^{+\infty} dx f(x, p, t)}$$



$$U(x) = E_i \pm \frac{1}{2} m \omega_i^2 (x - x_i)^2$$





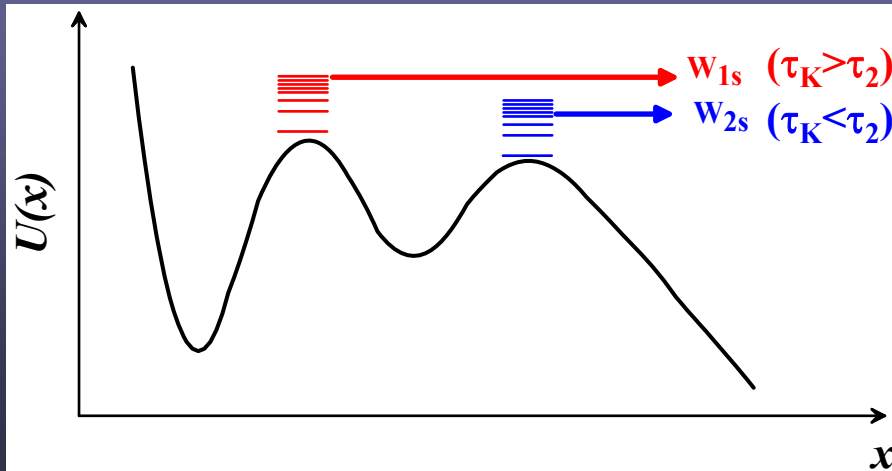
УГЛОВЫЕ РАСПРЕДЕЛЕНИЯ ОСКОЛКОВ ДЕЛЕНИЯ ЯДЕР С ДВУГОРБЫМ БАРЬЕРОМ ДЕЛЕНИЯ

$$W(\theta) = \sum_i b_i \left\{ (1 - P_i) W_{i,1s}(\theta) + P_i W_{i,2s}(\theta) \right\}$$

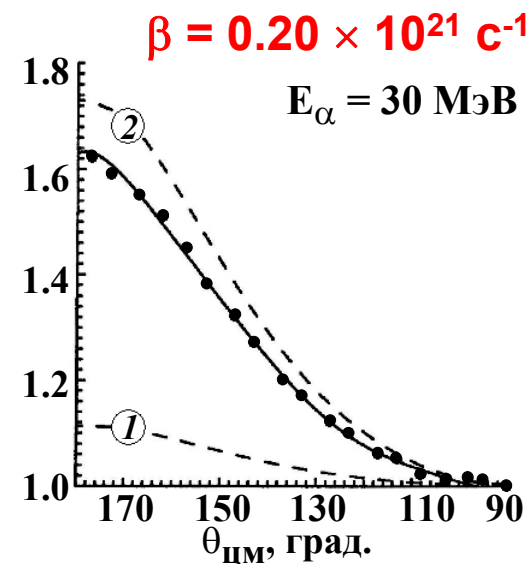
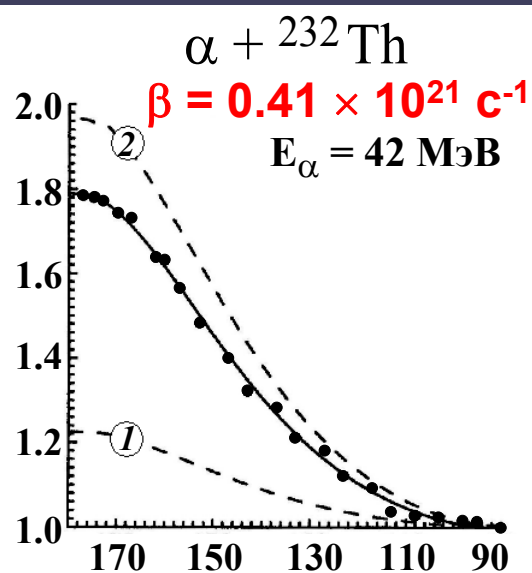
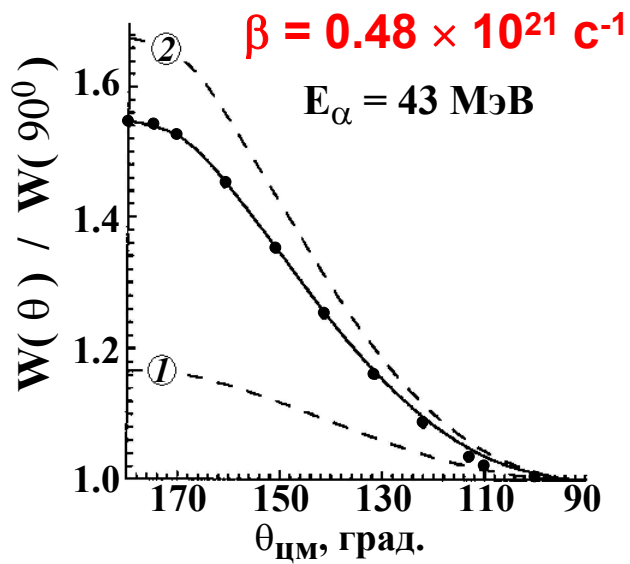
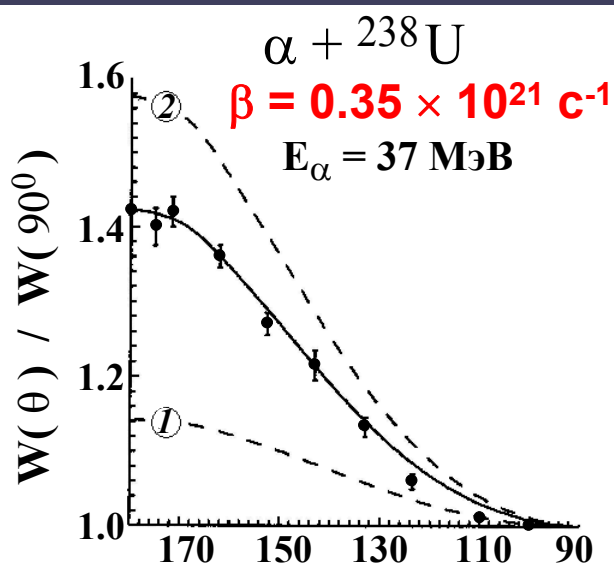
$$W_{i,1s(2s)}(\theta) = \sum_{J=0}^{\infty} \sum_E B_i(J, E) \frac{\sum_{M=-J}^J \exp\left(-\frac{M^2}{2M_0^2}\right) \sum_{K=-J}^J \frac{1}{2}(2J+1) \left| d_{M,K}^J(\theta) \right|^2 \exp\left(-\frac{K^2}{2K_{0,i}^2}\right)}{\sum_{J=0}^{\infty} \sum_E B_i(J, E) \sum_{M=-J}^J \exp\left(-\frac{M^2}{2M_0^2}\right) \sum_{K=-J}^J \exp\left(-\frac{K^2}{2K_{0,i}^2}\right)}$$

$B_i(J, E) = \frac{\sigma_{if}(J, E)}{\sum_J \sum_E \sigma_{if}(J, E)}$ - вероятность деления i -го ядра эмиссионного каскада с угловым моментом J и энергией возбуждения E

$b_i = \frac{\sum_J \sum_E \sigma_{if}(J, E)}{\sum_i \sum_J \sum_E \sigma_{if}(J, E)}$ -вес осколков деления i -го ядра эмиссионного каскада в полном выходе осколков



Сечения деления i -го ядра с энергией возбуждения E и угловым моментом J $\sigma_{if}(J, E)$ рассчитывались в рамках программного комплекса GFOT, в котором реализован формализм Хаузера-Фешбаха.



$E^* = (10 \div 40) \text{ MeV}$

Second well



$\beta = (0.2 \div 0.5) \times 10^{21} \text{ c}^{-1}$

СХЕМА РАСЧЕТОВ

$$\frac{dp}{dt} = -\frac{1}{2} \left(\frac{p}{m(r)} \right)^2 \frac{dm(r)}{dr} - \frac{dV}{dr} - \beta(r)p + f(t)$$

$$\frac{dr}{dt} = \frac{p}{m(r)}$$

$f(t) = \eta(T m \beta)^{1/2}$ – случайнаяла,

$$\langle \eta \rangle = 0, \langle \eta(t), \eta(t') \rangle = 2 \delta(t - t')$$

$$\beta(r) = \gamma(r)/m(r) \quad T = \sqrt{E_{int}/a(r)}$$

- > Second saddle
- > Second well
- > First saddle

$$E_{int} = E^* - p^2/(2m) - V(r, J)$$

B_f

$$a(r) = a_1 A + a_2 A^{2/3} B_s(r)$$

- A.V.Ignatuyk et al., Sov.J.Nucl.Phys. 21 (1975) 1185

$$V(r, J, T) = V_{ldm}(r, J) + V_{shell}(r, T=0) F(T)$$

$V_{ldm}(r, J)$ - W. D. Myers and W. J. Swiatecki, Nucl.Phys. 1966 V.81, P.1.
 $V_{shell}(r, T=0 \text{ MeV}) = V_{d.h.}(r) - V_{ldm}(r, J=0 \hbar)$ at $T=0 \text{ MeV}$

ЭМИССИЯ n, p, α И γ

$$F(p, r, J) \propto \exp \left(-\frac{p^2/(2m) + V}{T} \right) \frac{d\sigma(J)}{dJ} \delta(r - r_{eq})$$

DEFORMATION

Dynamical
calculation
for $t < t_{stat}$ and $T > T_{stat}$

without populating the second well

with populating the second well

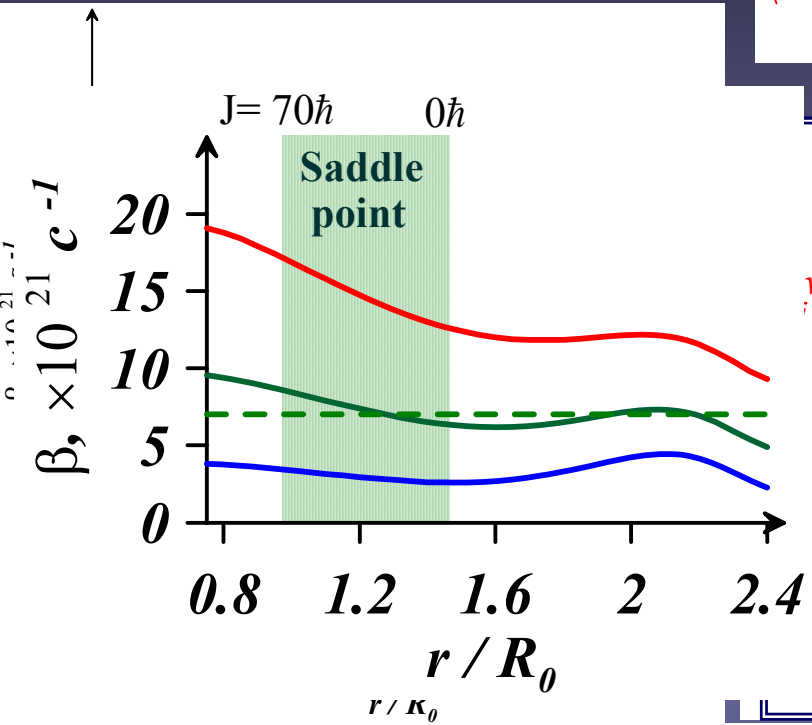
Statistical
calculation

Evaporation
residues

Dynamical
calculation
(saddle-scission)

FISSION

ВРЕМЯ ДЕЛЕНИЯ



$$\langle \tau_i \rangle = \frac{1}{N_f} \sum_{i=1}^{N_f} \tau_{fi}$$

■ - $^{238}\text{U} + ^{28}\text{Si}$; ■ - $^{28}\text{Si} + \text{natPt}$;
◊ - $^{232}\text{Th}(\text{p},\text{xnf})$; ◊ - $^{232}\text{Th}(\alpha,\text{xnf})$
◆ $^{232}\text{Th}(^3\text{He},\text{xnf})$

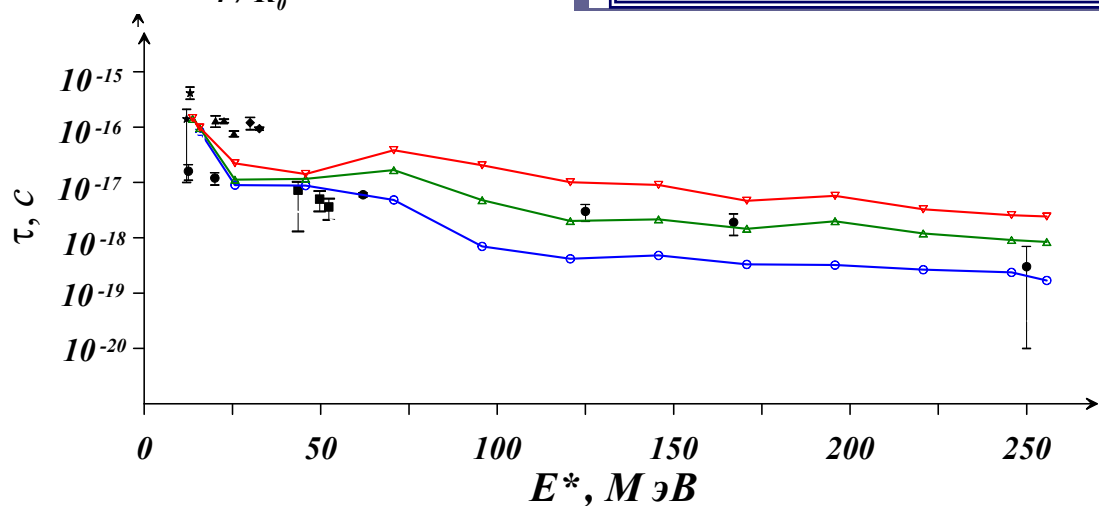
$$\rho(E, r) = \rho_{int}(E, r) K_{vibr}(E, r) K_{rot}(E),$$

One-body dissipation

$$\dot{\gamma}^w = \frac{1}{2} \rho_m \bar{v} \left[\frac{\partial R}{\partial q_i} \frac{\partial R}{\partial q_j} \Delta \sigma + k_s \pi \int_{Z_{min}}^{Z_{max}} \frac{\partial \rho_s^2}{\partial q_i} \frac{\partial \rho_s^2}{\partial q_j} \left(\rho_s^2 + \left(\frac{1}{2} \frac{\partial \rho_s^2}{\partial Z} \right)^2 \right)^{-\frac{1}{2}} dZ \right]$$

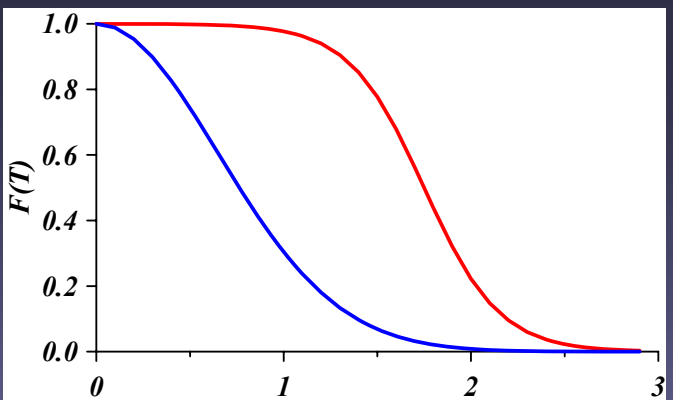
$$\gamma_{ij} = \begin{cases} k_s \gamma_{ij}^w & - \text{with neck} \\ f k_s \gamma_{ij}^w + (1-f) \gamma_{ij}^{sw} & - \text{without neck} \end{cases}$$

$$f = \sin^2 \left[\frac{\pi r_{neck}}{2 R_{frag}} \right]$$



--- --- $\beta = 7.0 \times 10^{21} \text{ s}^{-1}$

- — $k_s = 1.0$
- — $k_s = 0.5$
- — $k_s = 0.2,$



$$V_{shell}(r, T) = V_{shell}(r, T = 0) F(T)$$

$$F(E^*) = \exp\left(-\frac{E^*}{E_d}\right)$$

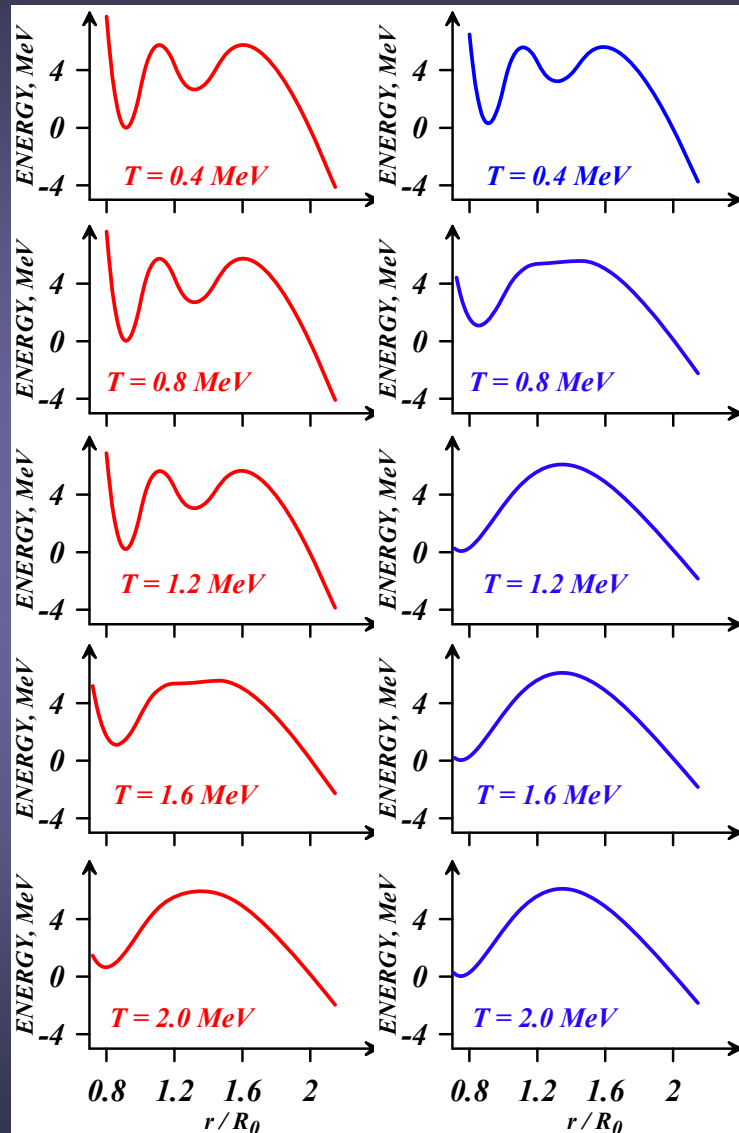
$$E_d = 20 \text{ MeV}$$

*A.V.Ignatyuk et al.,
Phys. At. Nucl. 21 (1975) 485.*

$$F(T) = \left[1 + \exp\left(\frac{T - T_0}{d}\right) \right]^{-1}$$

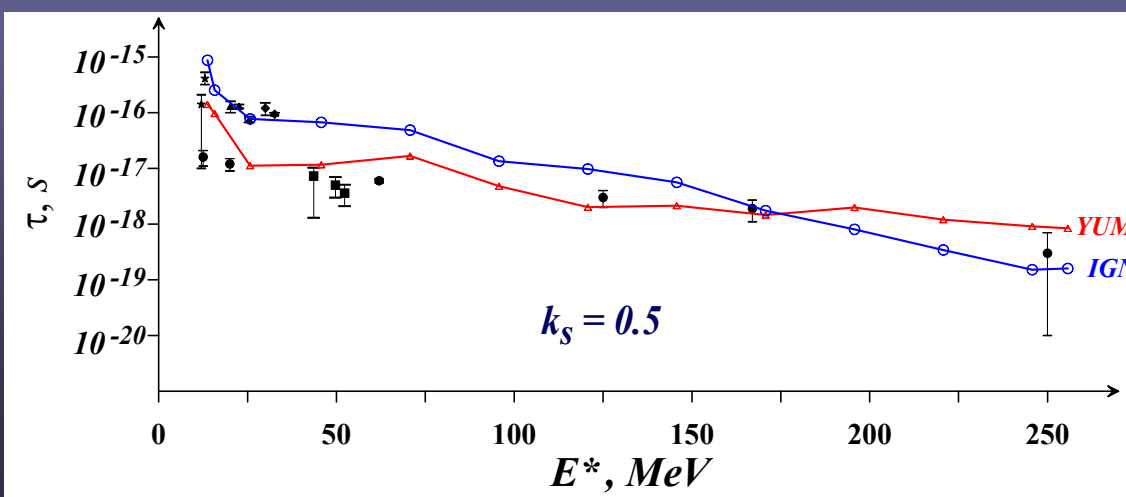
*O.A.Yuminov et al.,
Phys. At. Nucl. 65 (2002) 18.*

$^{238}\text{U} (J = 0 \hbar)$



М.Г.Иткис и др., Письма в ЭЧАЯ 5 (2008) 40.

$^{44}\text{Ca} + ^{206}\text{Pb} \rightarrow ^{250}\text{No}$ (fragment mass distribution) $E^* = (30-40) \text{ MeV}$



**УГЛОВЫЕ РАСПРЕДЕЛЕНИЯ ОСКОЛКОВ ДЕЛЕНИЯ:
МЕТОД РАСЧЕТОВ, ОСНОВАННЫЙ НА ИСПОЛЬЗОВАНИИ ПРЕДСТАВЛЕНИЙ
О СУЩЕСТВОВАНИИ ЭФФЕКТИВНЫХ ПЕРЕХОДНЫХ СОСТОЯНИЙ**

$$r_{tr} = \langle r(t) \rangle_{\tau_K} \longrightarrow K_{0i}^2 = \frac{T_i(r_{tr})}{\hbar^2} \mathfrak{J}_{eff,i}(r_{tr})$$

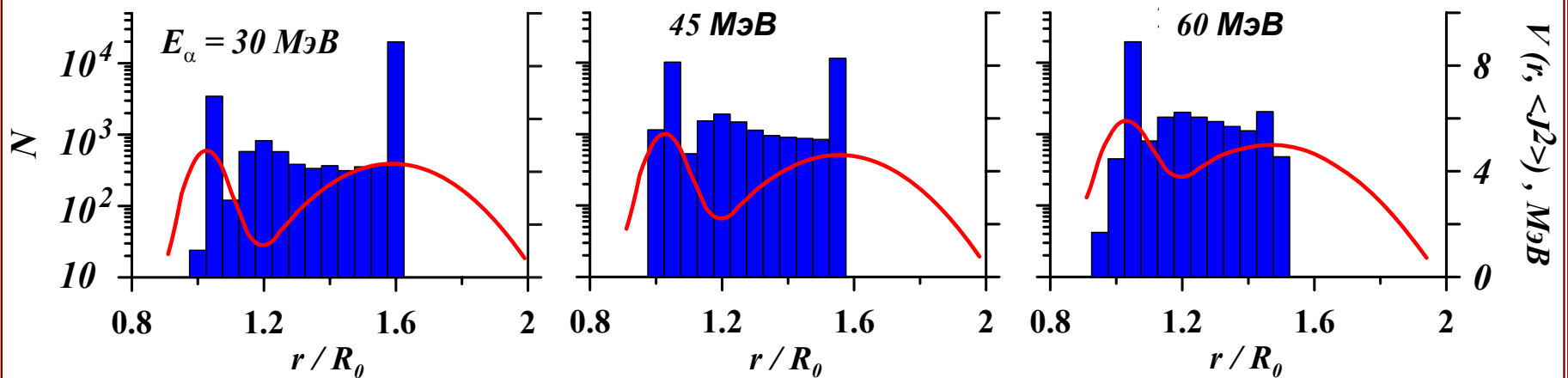
$$W_i(\theta) = \sum_{K=-J_i}^{J_i} \frac{\frac{1}{2}(2J_i+1) \left| d_{0,K}^{J_i}(\theta) \right|^2 \exp(-K^2 / 2K_{0i}^2)}{\sum_{K=-J_i}^{J_i} \exp(-K^2 / 2K_{0i}^2)}$$

$$W(\theta) = \frac{1}{N_f} \sum_{i=1}^{N_f} W_i(\theta)$$

$$\beta = 1.5 \times 10^{-21} \text{ s}^{-1}$$



$$\tau_K = 8 \times 10^{-21} \text{ s}$$



ЗАТУХАНИЕ ОБОЛОЧЕЧНЫХ ЭФФЕКТОВ

$$V(r, J) = V_{l.d.}(r, J) + V_{shell}(r) F(T)$$

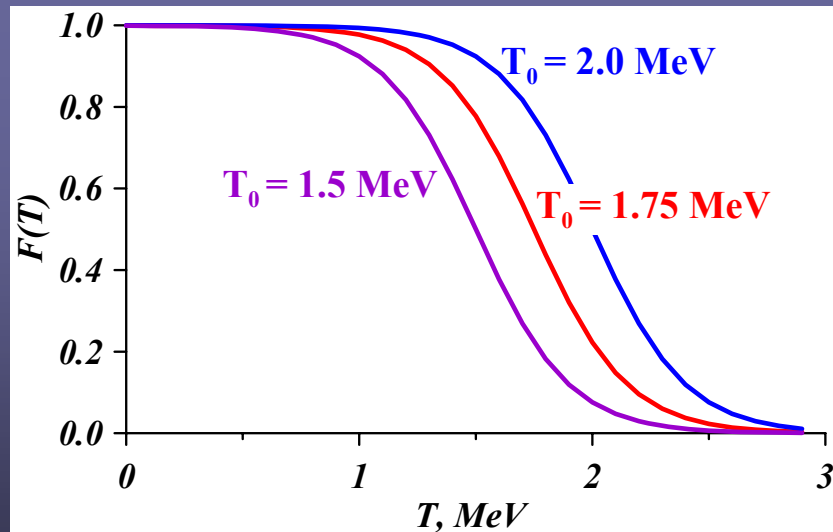
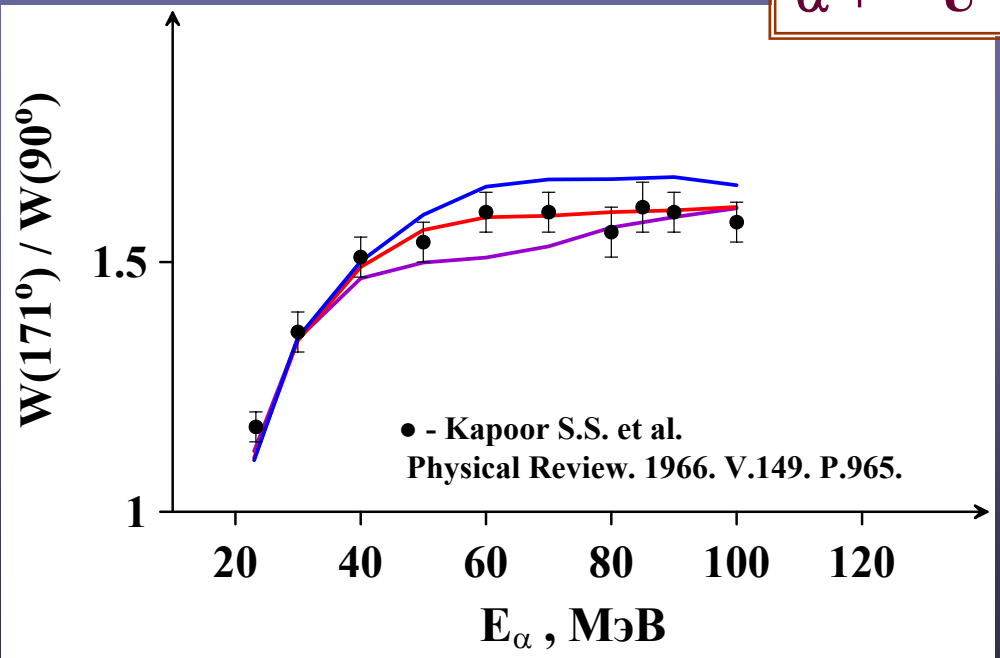
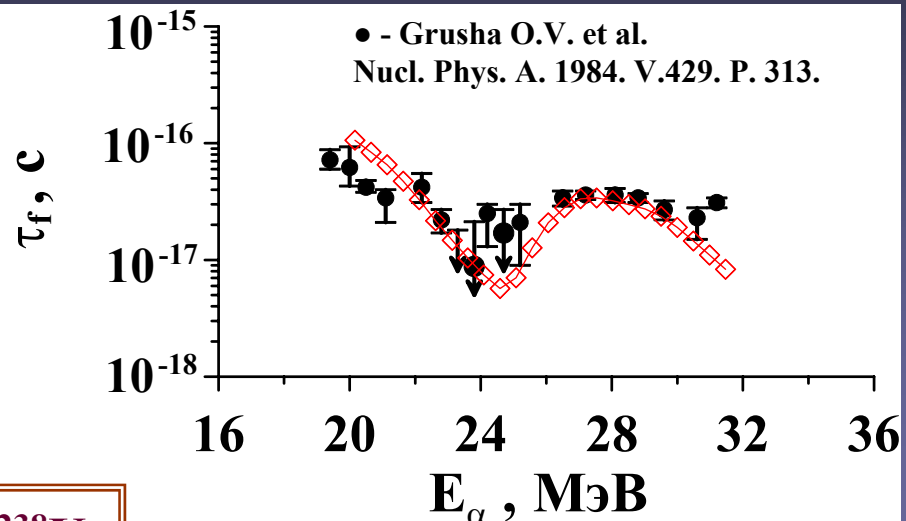
$$F(T) = \frac{1}{1 + \exp\left(\frac{T - T_0}{d}\right)}$$

$$T_0 = 1.75 \text{ MeV}$$

$d = 0.2 \text{ MeV}$

$$\beta = 1.5 \times 10^{21} \text{ s}^{-1}$$

$$\tau_K = 8 \times 10^{-21} \text{ s}$$

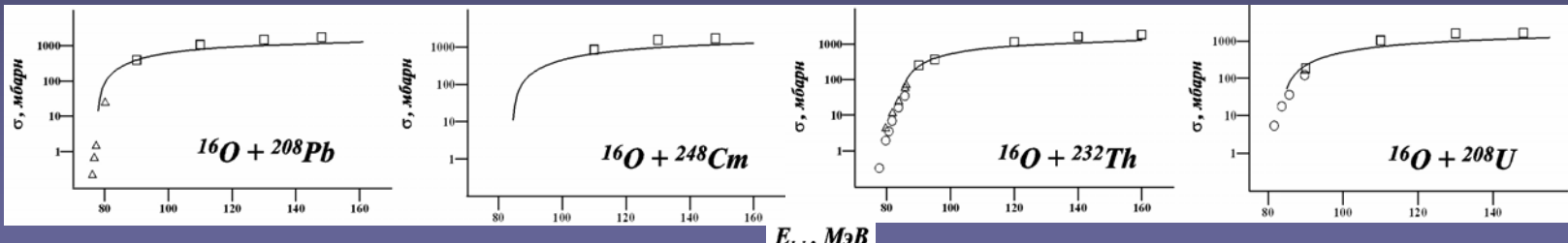


$$B_f \leq T$$

$$V_{shell} = 0$$

$$F(p,r,J) \sim \exp\left(-\frac{p^2/(2m) + V(r,J)}{T}\right) \frac{d\sigma(J)}{dJ} \delta(r - r_{eq})$$

$$\frac{d\sigma(J)}{dJ} = \frac{2\pi}{k^2} \frac{2J+1}{1 + \exp\left(\frac{J-J_c}{\delta J}\right)}; \quad J_c \text{ and } \delta J \text{ from Frobrich P., Gontchar I.I. // Phys.Rep. 1998. V.292. P.131.}$$



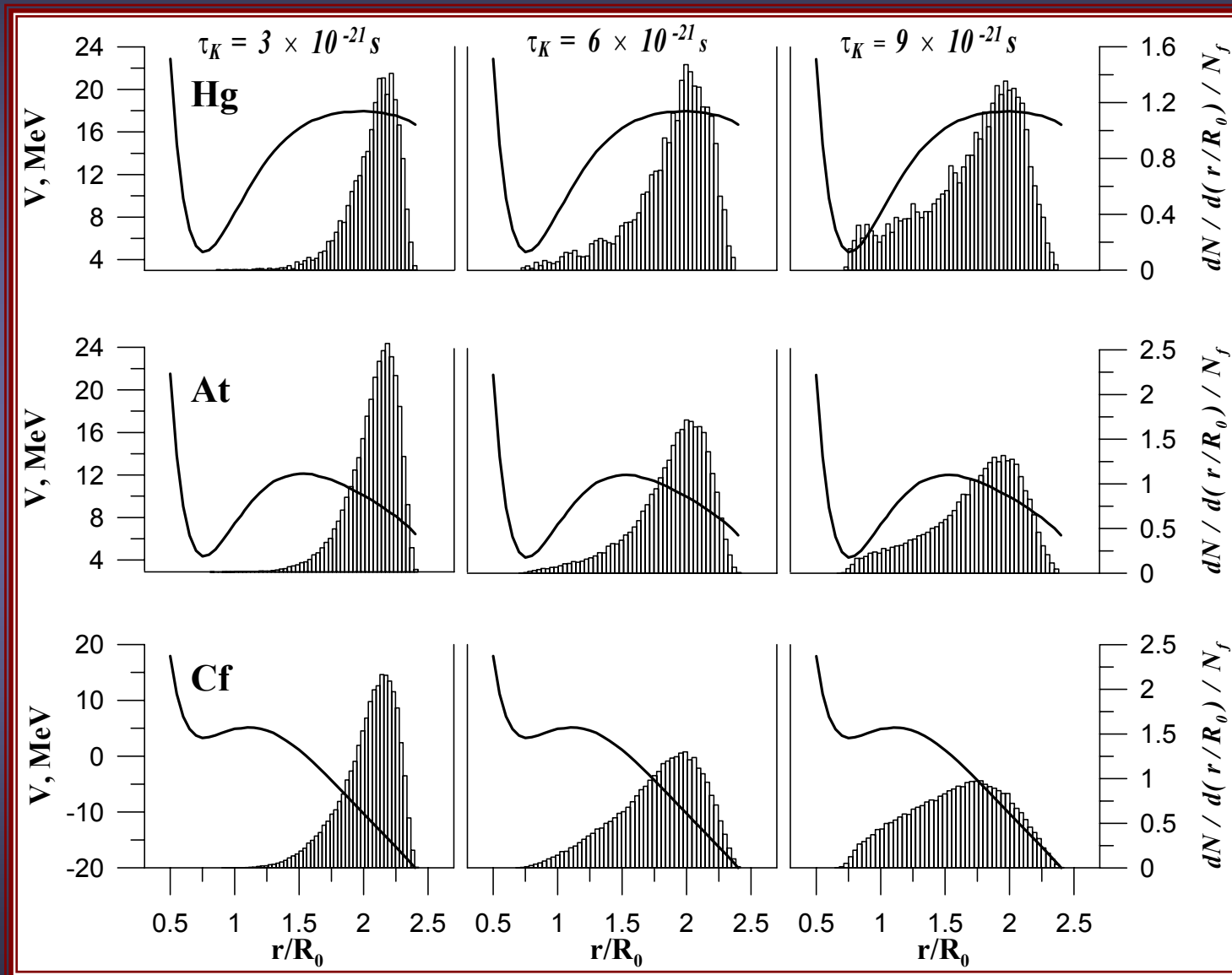
$$\mathbf{r}_{tr} = \langle \mathbf{r}(t) \rangle_{\tau_K} \rightarrow K_{\theta i}^2 = \frac{T_i(\mathbf{r}_{tr})}{\hbar^2} \mathfrak{I}_{eff,i}(\mathbf{r}_{tr})$$

$$W(\theta) = \frac{1}{N_f} \sum_{i=1}^{N_f} W_i(\theta)$$

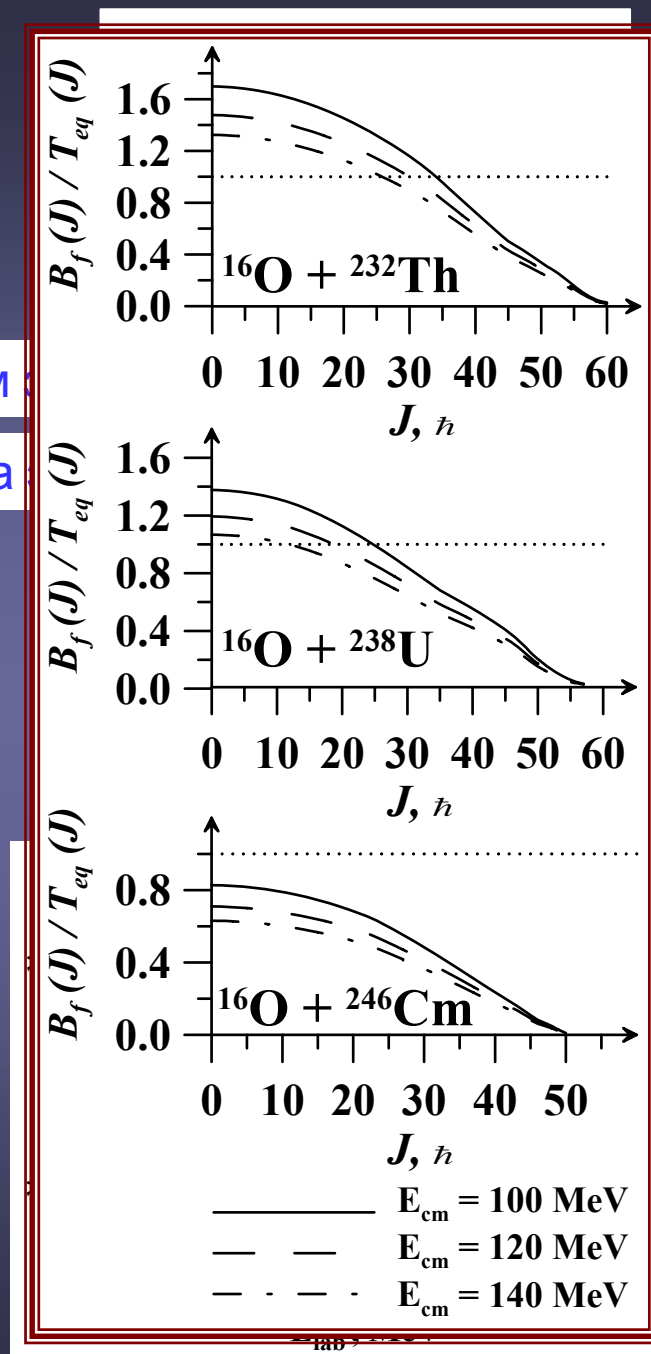
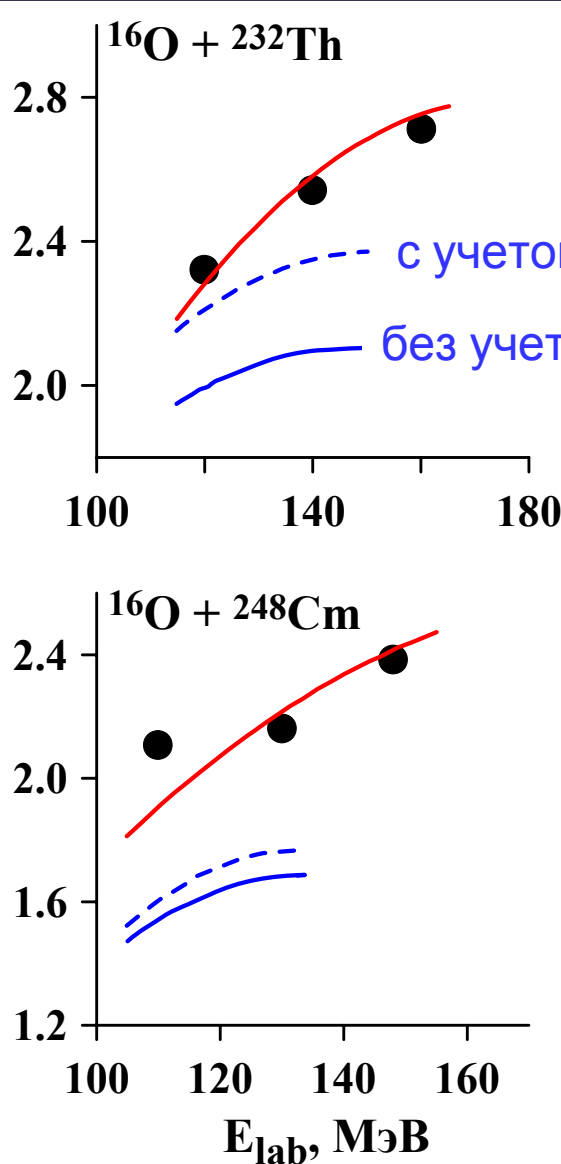
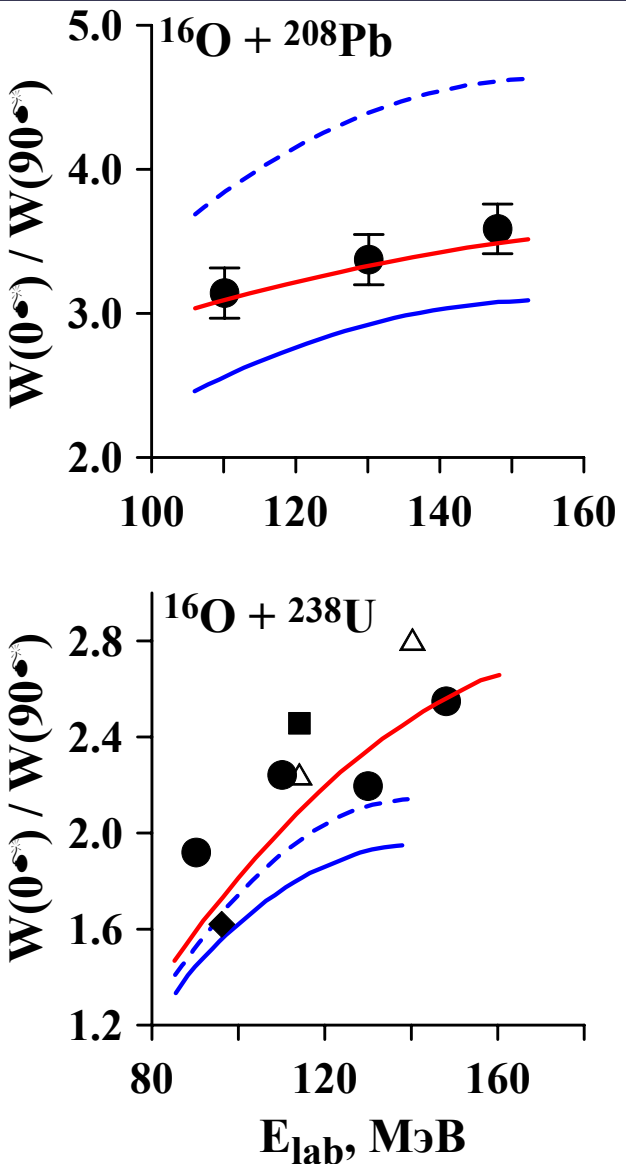
$$W_i(\theta) = \sum_{M=-J_i}^{J_i} \sum_{K=-J_i}^{J_i} \frac{\frac{1}{2} \exp(-M^2 / 2M_{0i}^2)(2J_i + 1) \left| d_{M,K}^{J_i}(\theta) \right|^2 \exp(-K^2 / 2K_{0i}^2)}{\sum_{M=-J_i}^{J_i} \exp(-M^2 / 2M_{0i}^2) \sum_{K=-J_i}^{J_i} \exp(-K^2 / 2K_{0i}^2)}$$

ЭМИССИЯ В r_{em} → $M_{0i}^2 = \frac{T_i(r_{em})}{\hbar^2} \mathfrak{I}_{||,i}(r_{em})$

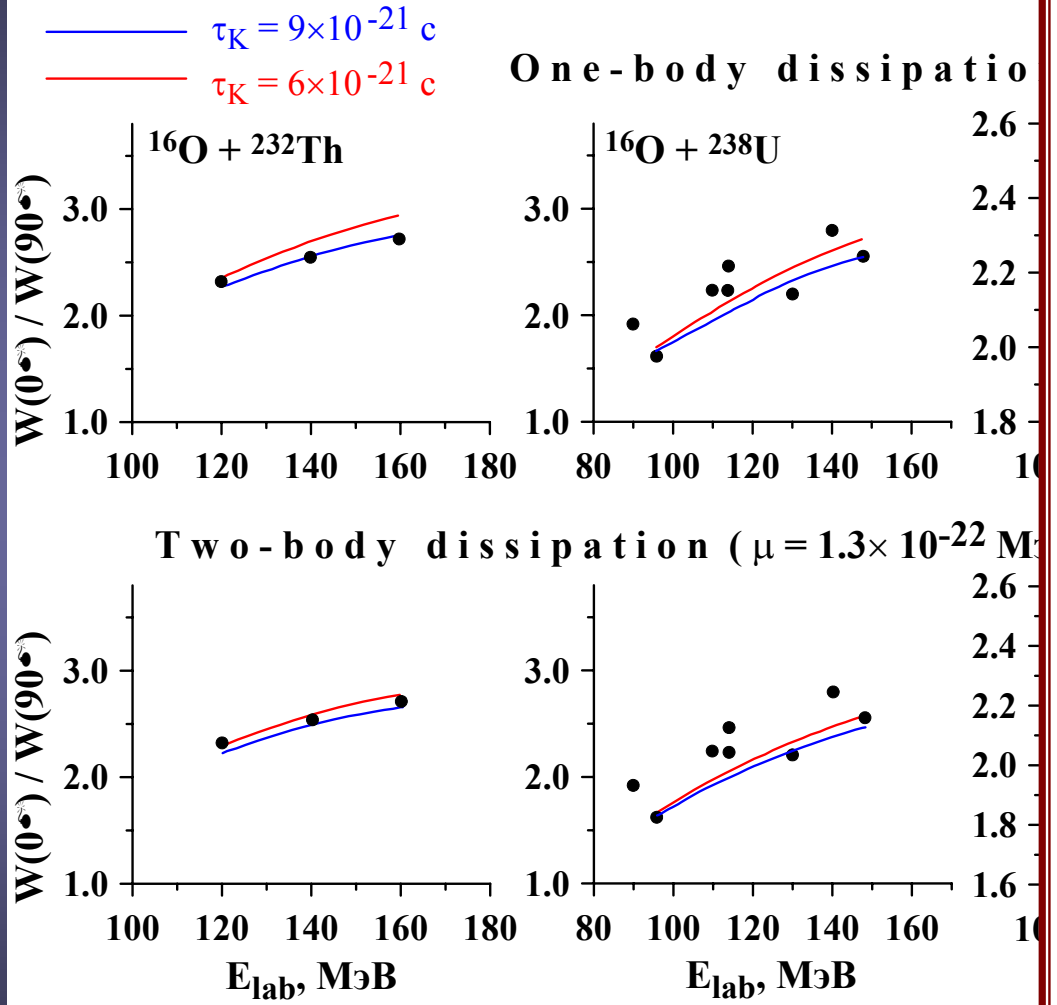
$$E^*=100 \text{ MeV}, \quad \beta=4\times 10^{21} \text{ C}^{-1}, \quad J=30 \text{ } \hbar$$



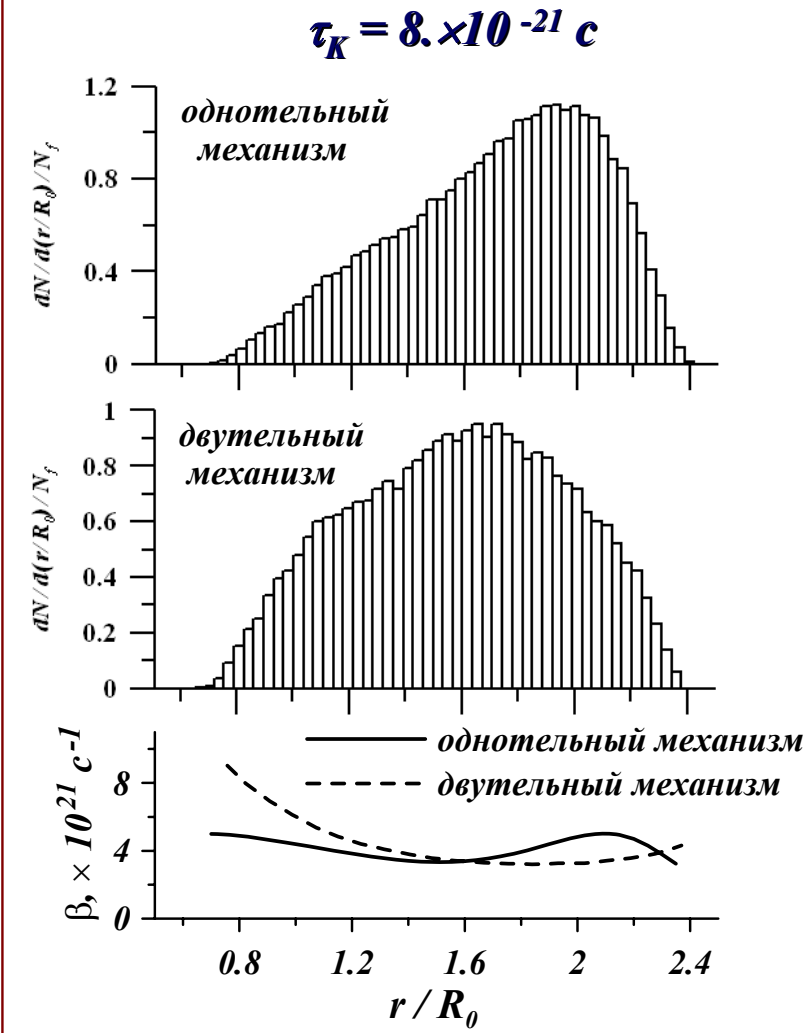
$$\tau_K = 6 \times 10^{-21} c$$



Деформационная зависимость



^{248}Cf при $J=40\hbar$, $E^*=110$ МэВ



Mass-energy distribution

Адеев Г.Д. и др., ЭЧАЯ, 26 (2005) 732.

$$\mu = (0.9 \div 1.9)$$

$$k_s = (0.1 \div 0.5)$$

ДИНАМИКО-СТОХАСТИЧЕСКАЯ МОДЕЛЬ

$$V(r, J, K) = B_s(r) E_s^0(Z, A) + B_c(r) E_c^0(Z, A) + \frac{[J(J+1) - K^2] \hbar^2}{2 \mathfrak{I}_{\perp}} + \frac{K^2 \hbar^2}{2 \mathfrak{I}_{\parallel}}$$

W. D. Myers and W. J. Swiatecki, Nucl. Phys. 1966 V.81, P.1.

$$\begin{cases} \frac{dp}{dt} = -\frac{1}{2} \left(\frac{p}{m(r)} \right)^2 \frac{dm(r)}{dr} - \frac{dF}{dr} - \beta(r)p + f(t) \\ \frac{dr}{dt} = \frac{p}{m(r)} \end{cases}$$

$$f(t) = \eta (T m \beta)^{1/2} - \text{случайная сила}$$

$$\langle \eta(t) \rangle = 0, \quad \langle \eta(t_1), \eta(t_2) \rangle = 2\delta(t_1 - t_2)$$

$$F(r, T, J, K) = V(r, J, K) - a(r) T^2$$

$$T = (U / a(r))^{1/2}$$

$$a(r) = a_1 A + a_2 A^{2/3} B_s(r)$$

$$U = E^* - p^2/(2m) - V(r, J, K)$$

A.V.Ignatuyk et al., Sov.J.Nucl.Phys. 21 (1975) 1185

$$\rho(U, K) = \frac{a^{1/4}}{8\sqrt{6\pi} U^{5/4}} \left(\frac{\hbar^2}{\mathfrak{I}_{\parallel}} \right)^{1/2} \exp(2\sqrt{aU})$$

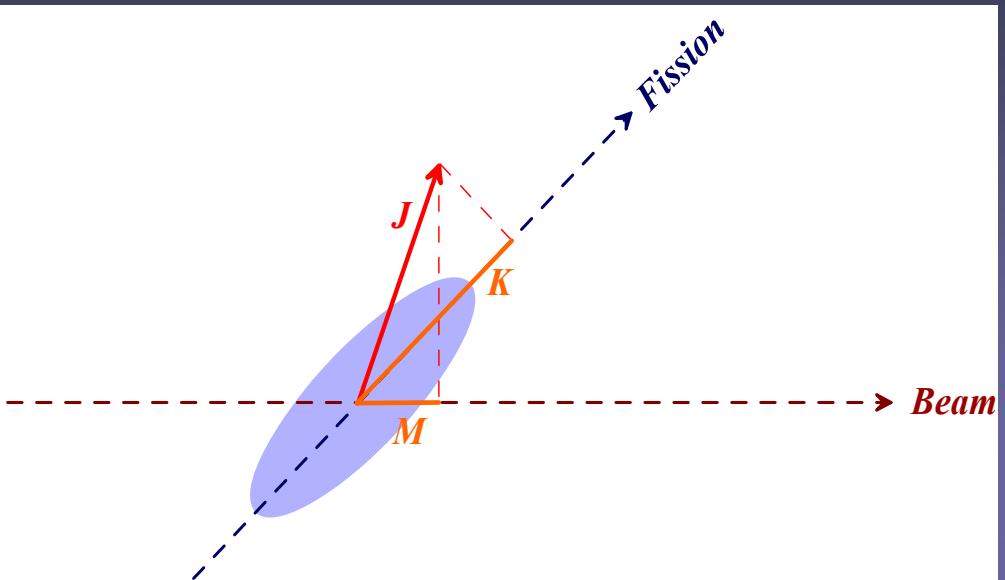
O.Bohr and S. Bjornholm

УГЛОВЫЕ РАСПРЕДЕЛЕНИЯ ОСКОЛКОВ ДЕЛЕНИЯ

$$P(K', t | K, t_0) = e^{-(t-t_0)/\tau_K} \delta(K - K_0) + (1 - e^{-(t-t_0)/\tau_K}) \Phi(K)$$

$$\Phi(K) \sim \exp \left[\frac{-\Delta F(rT, J, K)}{T} \right]$$

$$-J \leq K \leq J$$



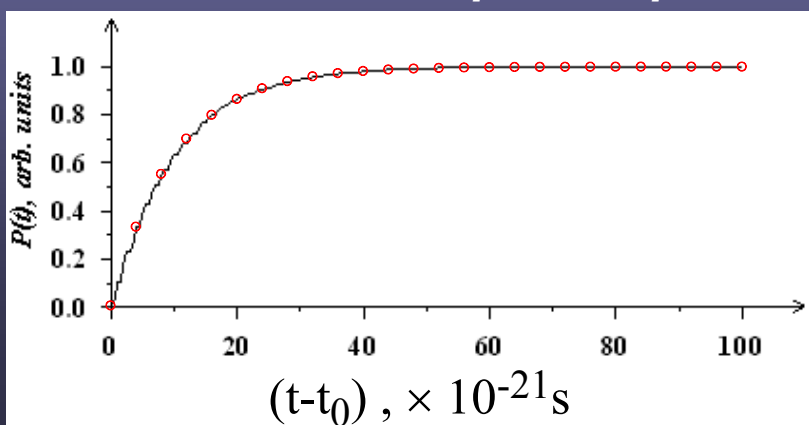
1. $\xi \in [0,1]$

2. $\xi < h/\tau_K$

3. $\Phi(K) \rightarrow K$

$$4. W(\theta) = \frac{1}{N_f} \sum_{i=1}^{N_f} \frac{1}{2} (2J_i + 1) \left| d_{M_i, K_i}^{J_i} (\theta) \right|^2$$

τ_K – время релаксации для K -моды; h – временной шаг численного интегрирования уравнений Ланжевена; N_f – количество Ланжевеновских траекторий, достигших точки разрыва



$$\tau_K = 10 \times 10^{-21} \text{ s}$$

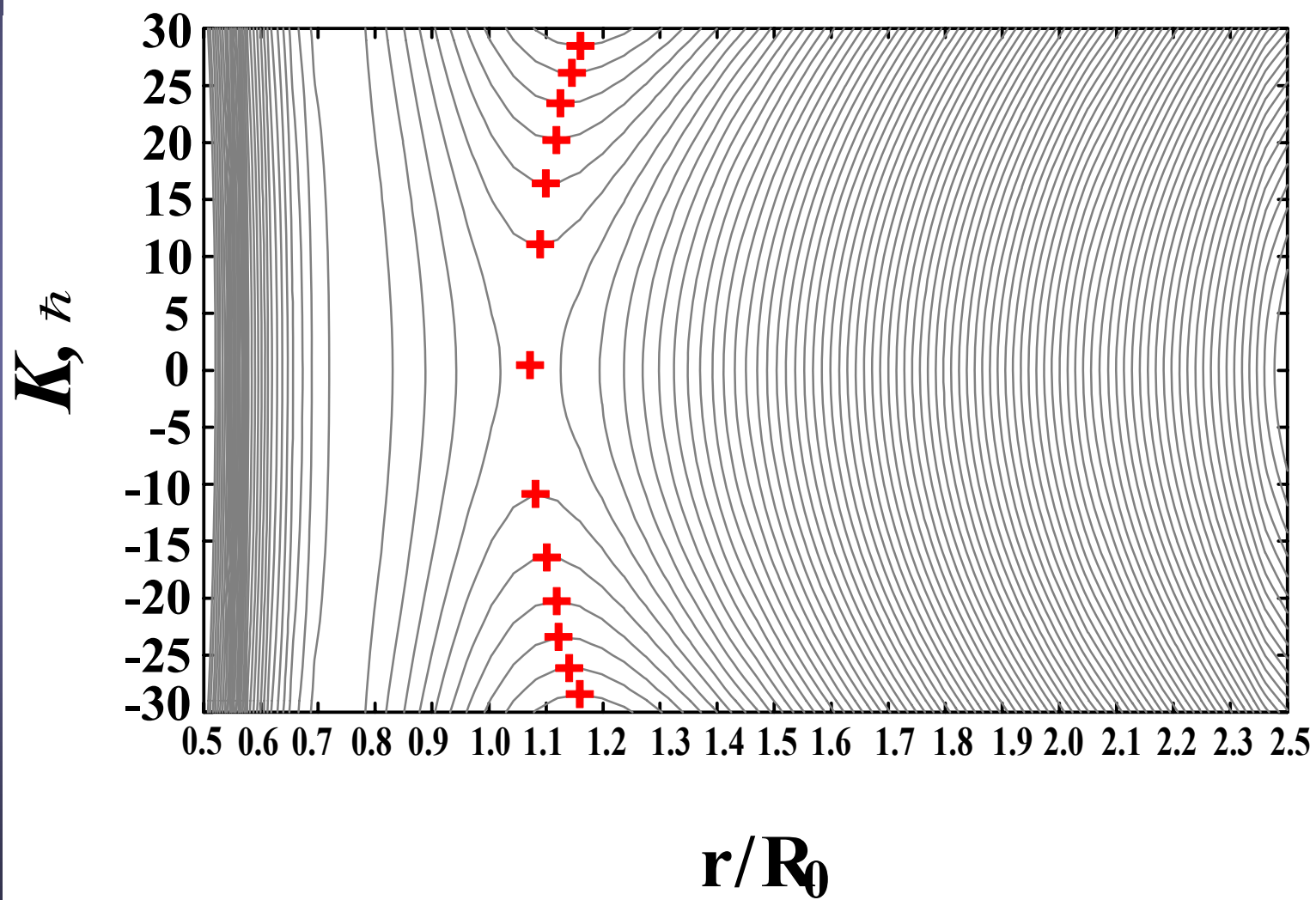
○ - $P(K', t | K, t_0)$

—— - simulation

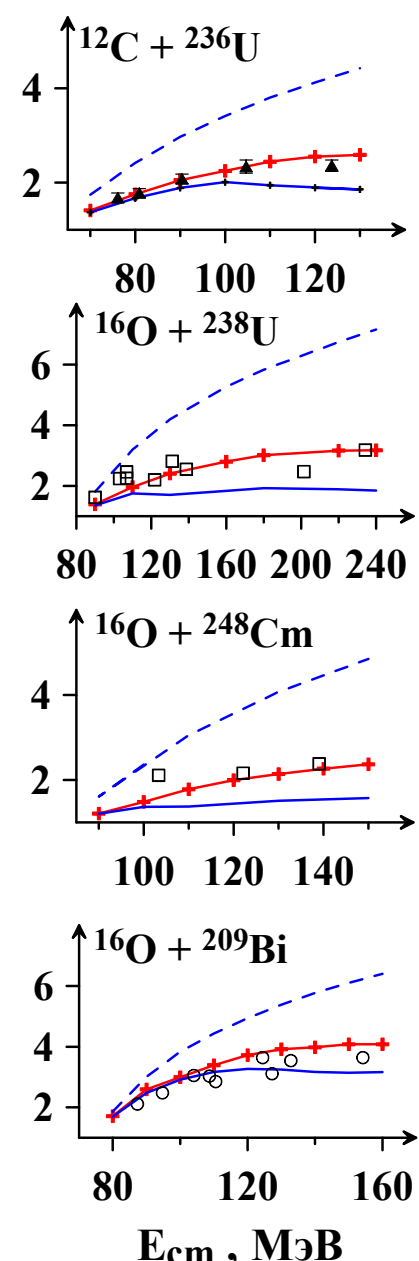
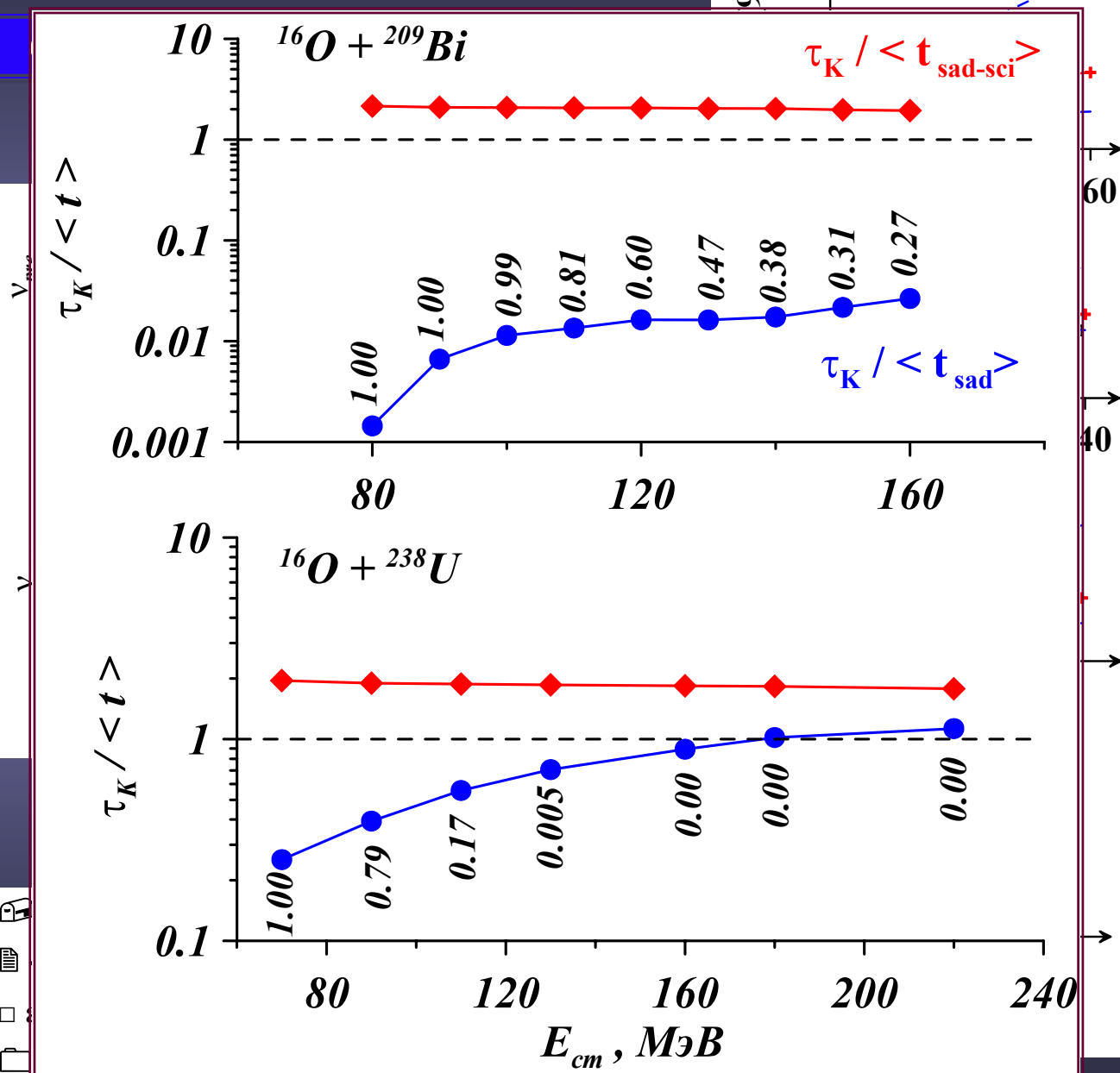
^{248}C

MgB

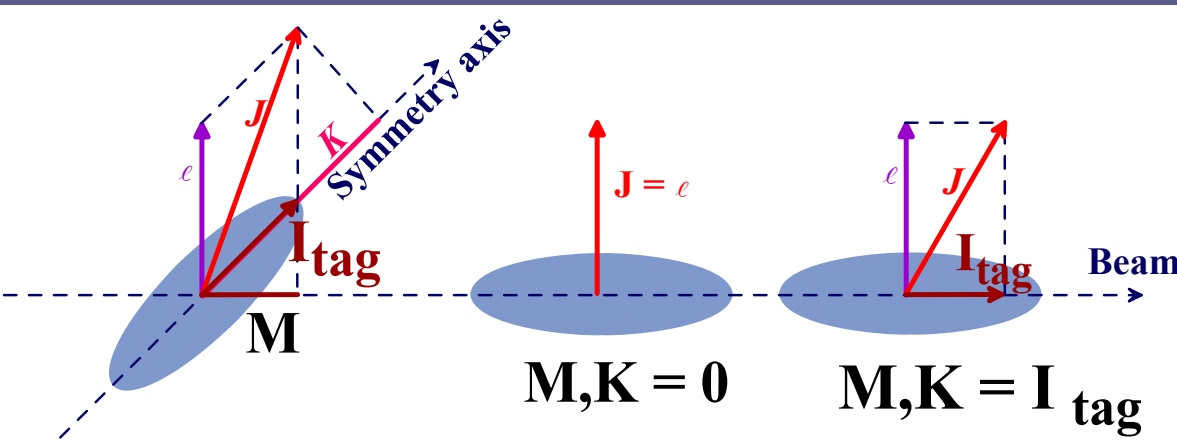
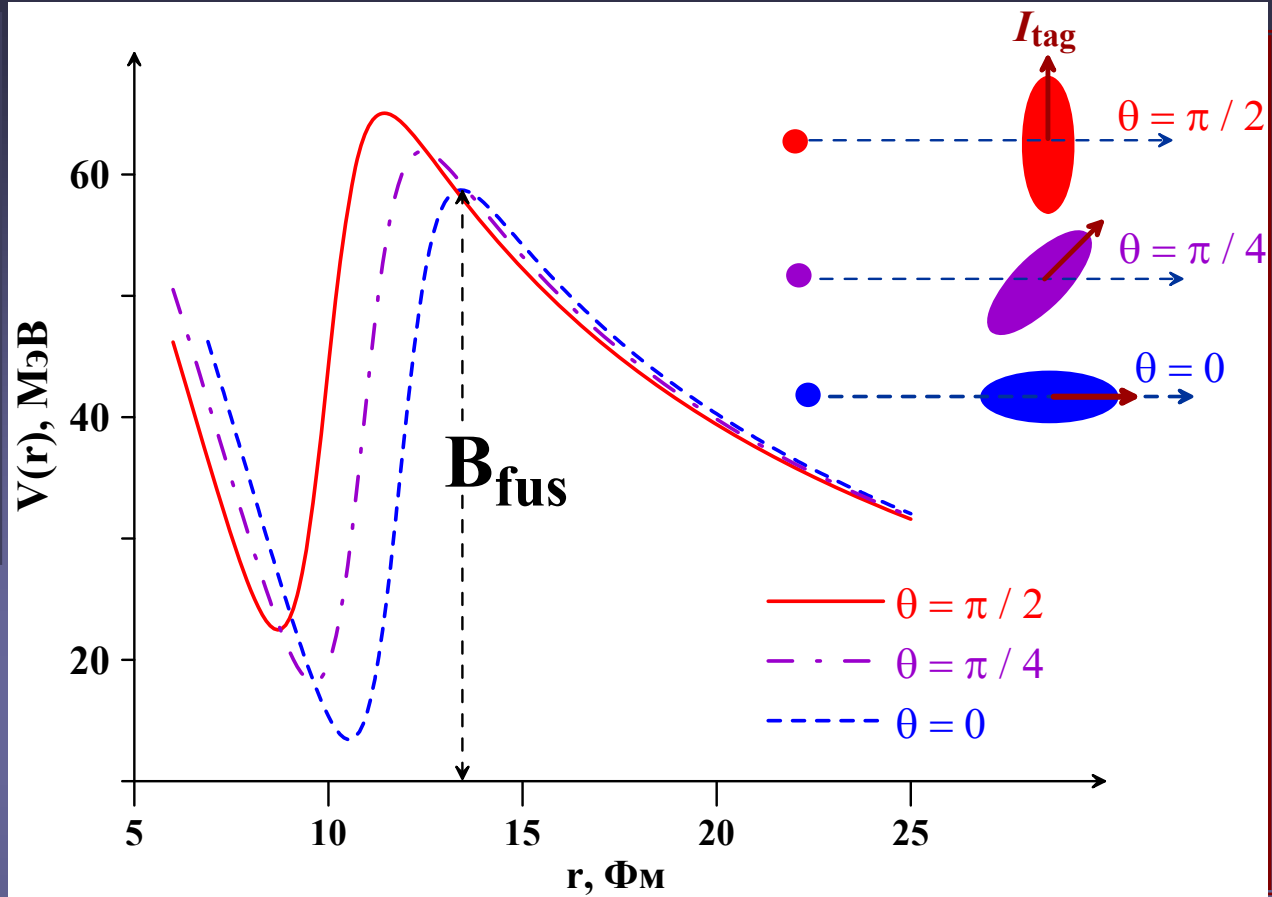
10
8
6

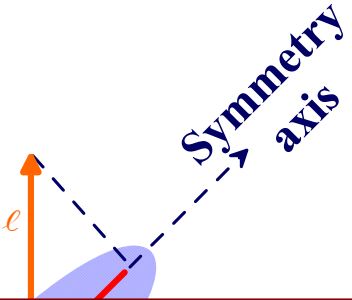


$$\tau_K = 3 \times 10^{-20} \text{ s}$$



Угловые распределения осколков деления в реакциях полного слияния деформированных ядер





$$w(J, K) = \frac{\sum_{\ell=0}^{\infty} \sum_{K_\ell=-\ell}^{\ell} \partial\sigma(\ell, K_\ell) \left| C_{I_{tag}, K_\ell, K}^{I_{tag}, \ell, J} \right|^2}{\sum_{\ell=0}^{\infty} \sum_{K_\ell=-\ell}^{\ell} \partial\sigma(\ell, K_\ell)}$$

$$w(J, K) = \sum_{\ell=0}^{\infty} \sum_{S=|I_{tag}-I_p|}^{I_{tag}+I_p} \sum_{K_\ell=-\ell}^{\ell} \frac{\partial\sigma(\ell, K_\ell, K_p) \left| C_{K-K_\ell, K_\ell, K}^{S, \ell, J} \right|^2 \left| C_{I_{tag}, K-I_{tag}-K_\ell, K-K_\ell}^{I_{tag}, I_p, S} \right|^2}{\sum_{\ell=0}^{\infty} \sum_{K_\ell=-\ell}^{\ell} \sum_{K_p=-I_p}^{I_p} \partial\sigma(\ell, K_\ell, K_p)}$$

$$\partial\sigma(\ell, K_\ell, K_p) = \int \int \left| d_{K_\ell, 0}^\ell(\theta_{tag}) \right|^2 \left| d_{I_p, K_p}^{I_p}(\theta_p) \right|^2 \partial\sigma(\ell, \theta_{tag}, \theta_p) \sin(\theta_{tag}) \sin(\theta_p) d\theta_{tag} d\theta_p$$



$$\partial\sigma(\ell, \mu_{tag}) = \int |d_{I_{tag}, \mu_{tag}}^{I_{tag}}(\theta_{tag})| \partial\sigma(\ell, \theta_{tag}) \sin(\theta_{tag}) d\theta_{tag}$$

R.D.Butt et al., Phys. Rev. C, V. 66 (2002) 044601

$$V\,{=}\,V_{Nucl}\,{+}\,V_{Coul}\,{+}\,V_{Rot}$$

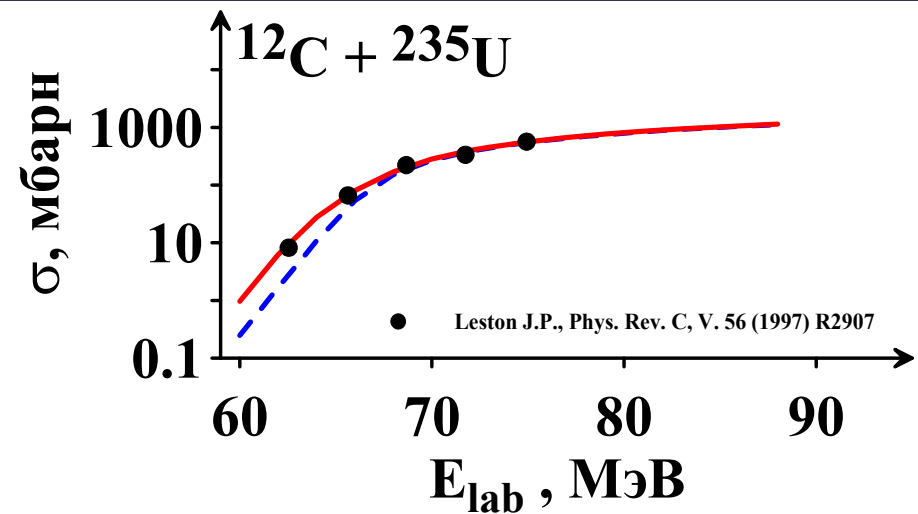
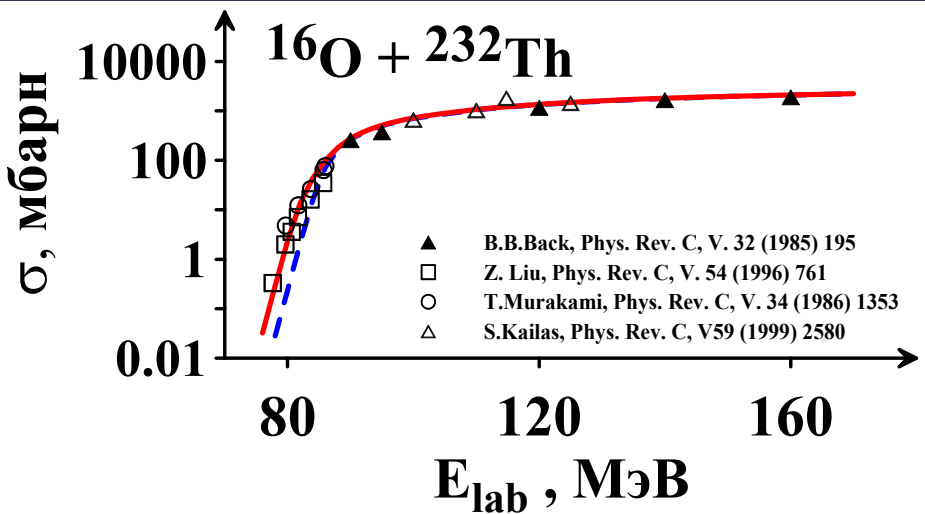
$$V_{Nucl}(R,\theta)\!\!=\!\frac{-V_0}{1+exp\!\left\{\!\frac{R-R_p-R_{tag}(\theta)}{a}\!\right\}} \qquad R_{tag}=r_0A_{tag}^{1/3}\;\left\{\;1+\beta_2Y_{20}(\theta)\;\right\} \qquad R_p=r_0A_p^{1/3}$$

$$V_{Rot}(R,\ell)\!\!=\!\frac{\hbar^2\ell(\ell\!+\!1)}{2\mu R^2}$$

$$V_{Coul}\!\left(R,\theta_{tag},\theta_p,\beta_{tag},\beta_p\right)\!\!=\!\frac{Z_pZ_{tag}e^2}{R}+\left(\frac{9}{20\pi}\right)^{1/2}\left(\frac{Z_pZ_{tag}e^2}{R^3}\right)\sum_{i=p,tag}R_i^2\,\beta_i\,P_2(cos\theta_i)\\+\left(\frac{3}{7\pi}\right)\!\!\left(\frac{Z_pZ_{tag}e^2}{R^3}\right)\sum_{i=p,tag}R_i^2\big(\beta_i\,P_2(cos\theta_i)\big)^2$$

$$\hbar\omega(\ell,\theta)=\hbar\Biggl\{\Biggl[\frac{d^2V(\ell,\theta)}{dR^2}\Biggr]\frac{1}{\mu}\Biggr\}^{1/2}$$

$$\sigma(\ell,\theta)\!\!=\!\left(\frac{\pi\hbar^2}{2\mu E}\right)\!\frac{2\ell\!+\!1}{1+exp(2\pi(B(\ell,\theta)\!-\!E)/\hbar\omega(\ell,\theta))} \qquad \sigma_{tot}=\sum_{l=0}^{\infty}\int\limits_0^{\frac{\pi}{2}}\sigma(l,\theta)sin(\theta)d\theta$$

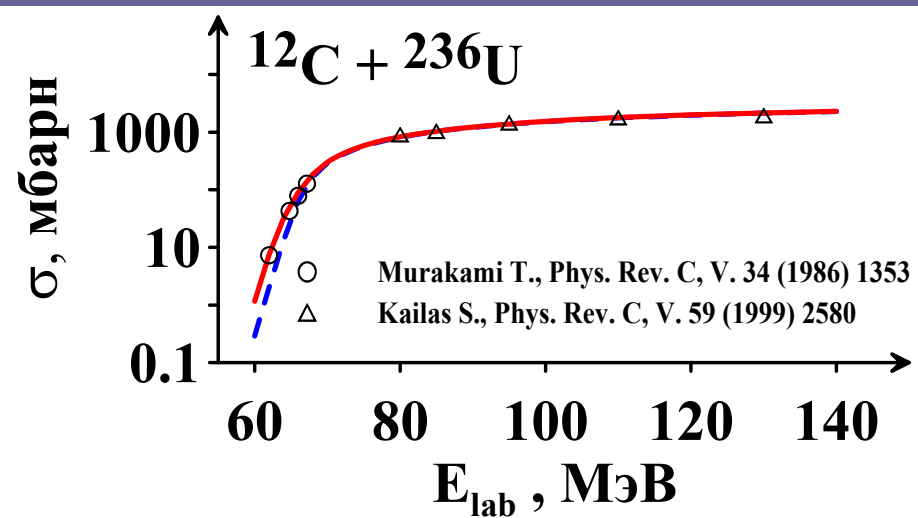


$$V_0 = 70 \text{ MeV} \quad r_0 = 1.26 \text{ fm}$$

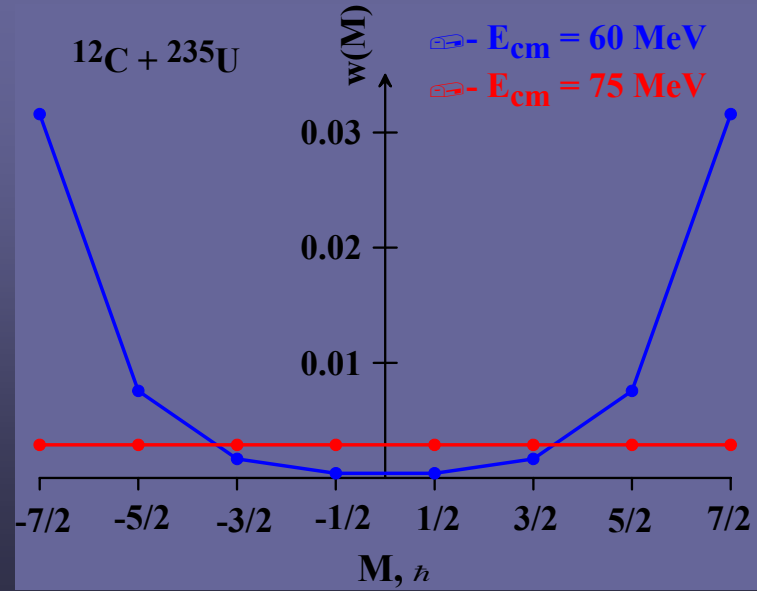
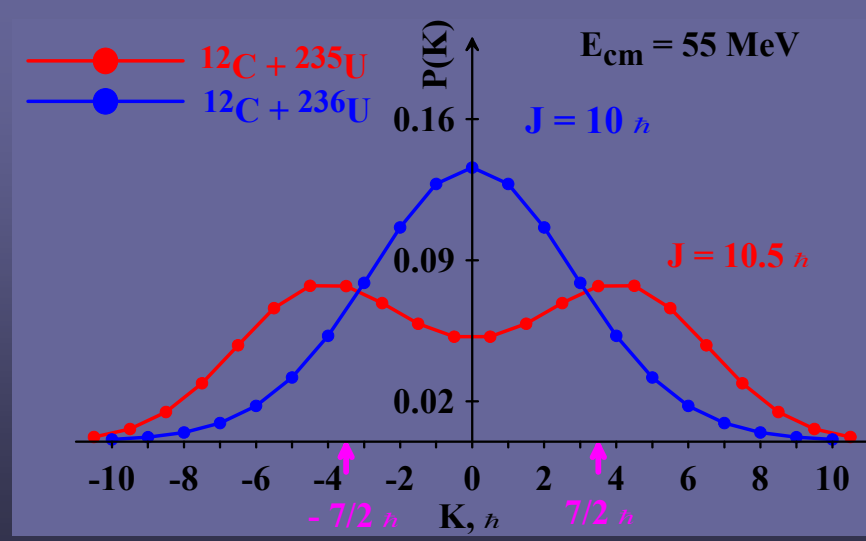
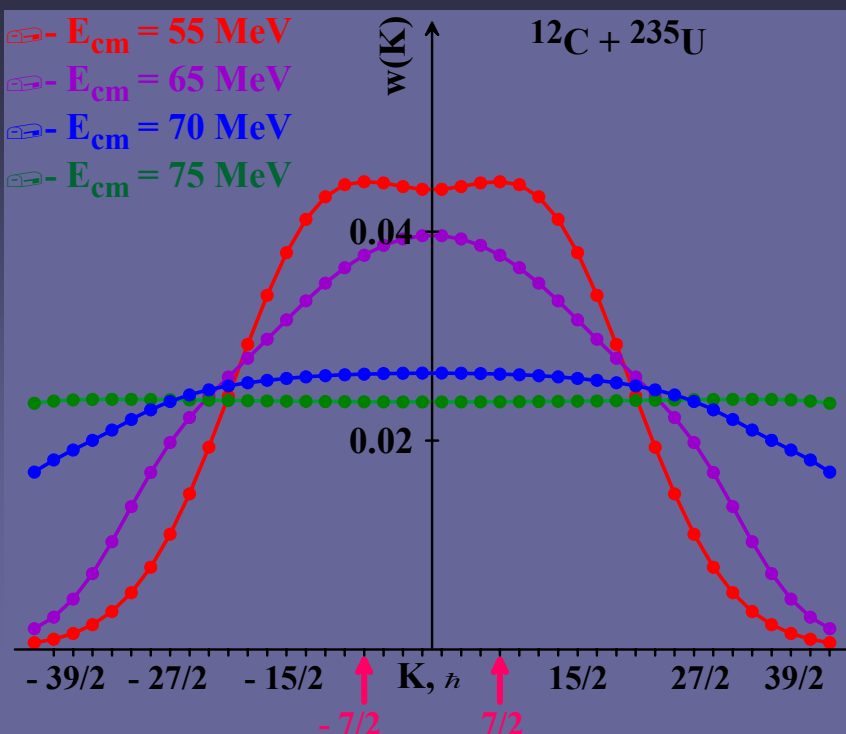
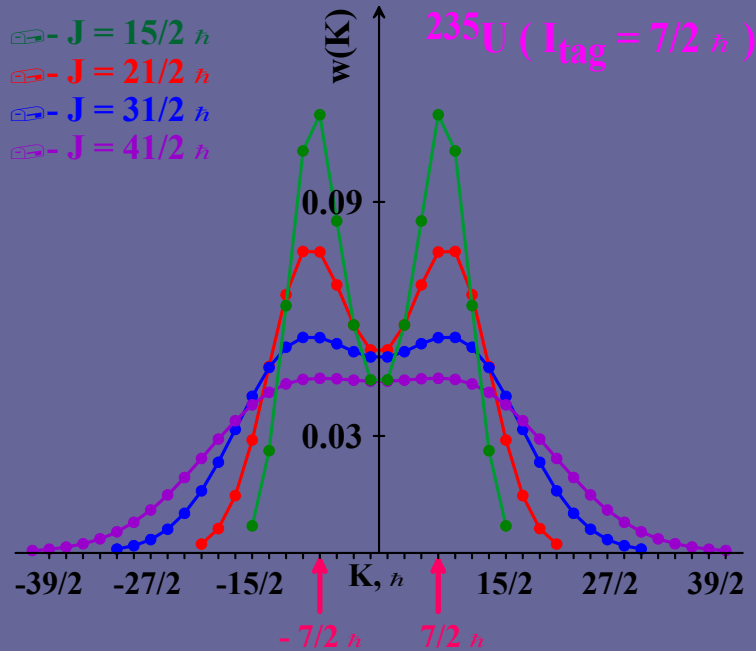
А.С.Ильинов и др., ЯФ Т.36 (1982) 118

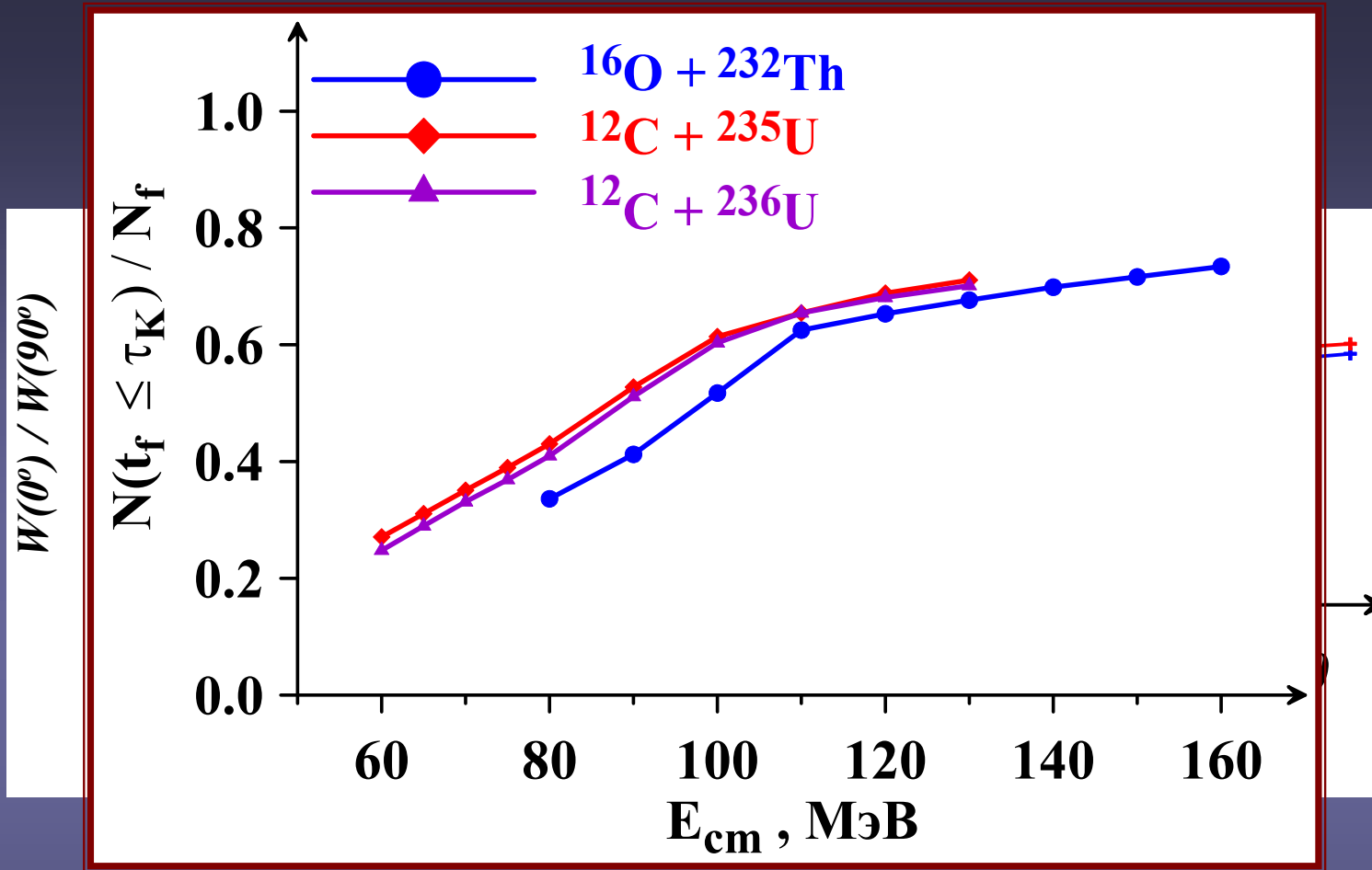
$$a = 0.53 \text{ fm } (\text{O+Th})$$

$$a = 0.47 \text{ fm } (\text{C+U})$$



$^{12}\text{C} + ^{235}\text{U}$, $B_{\text{fus}} = 60$ MeV, $E_{\text{cm}} = 55$ MeV





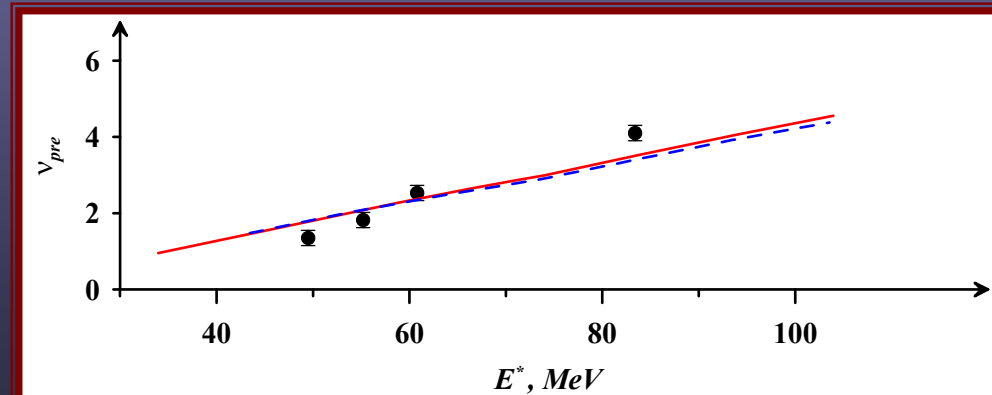
$$\tau_K = 5 \times 10^{-20} c$$

Experiment ($^{16}\text{O} + ^{232}\text{Th} \rightarrow ^{248}\text{Cf}$),

A.Saxena, Phys. Rev. C 49 (1994) 932

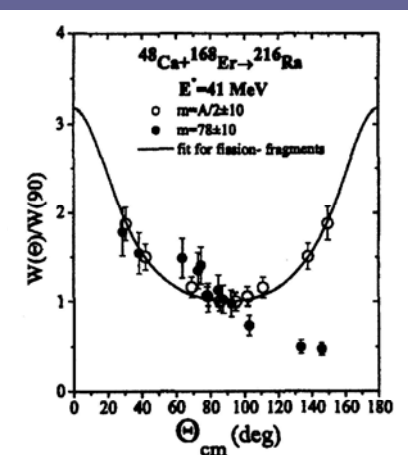
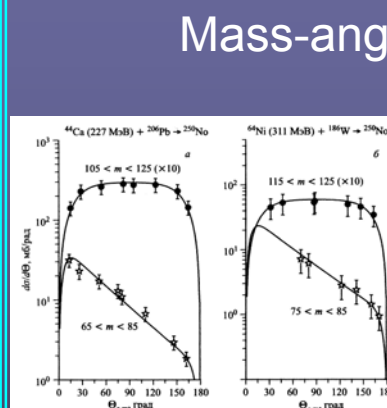
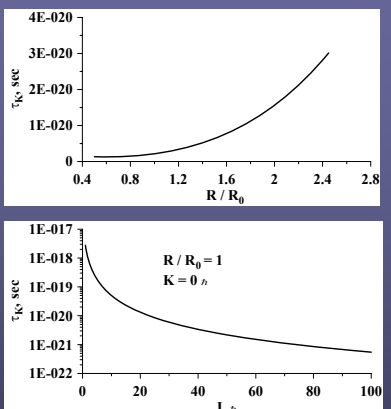
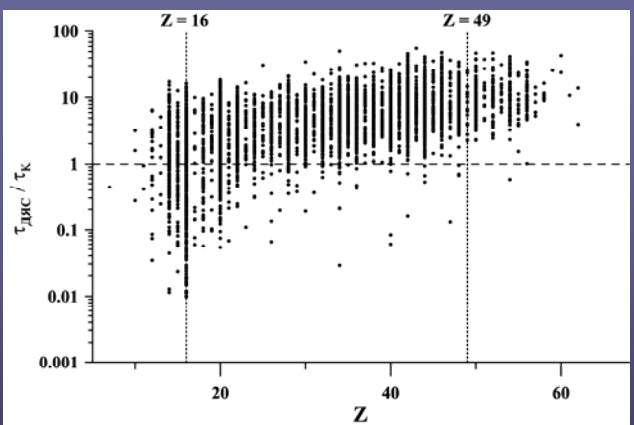
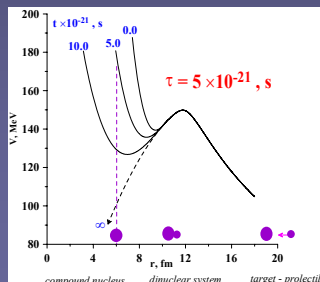
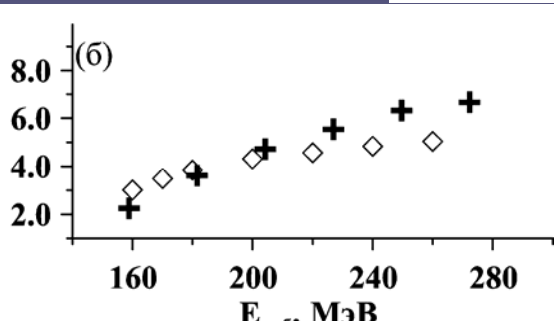
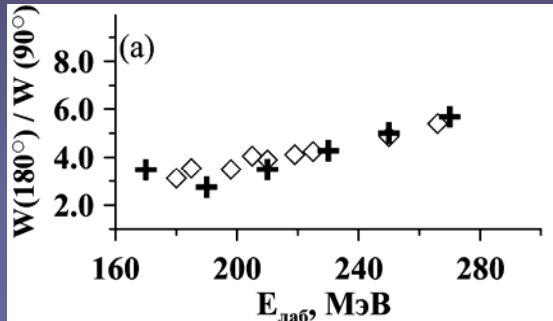
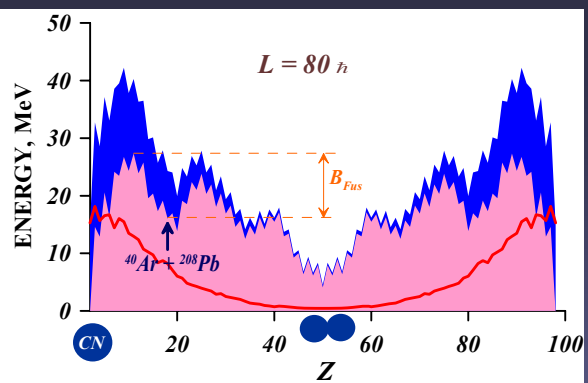
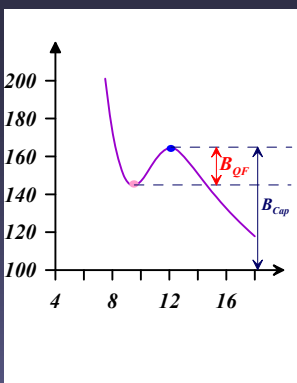
Calculation ($^{16}\text{O} + ^{232}\text{Th} \rightarrow ^{248}\text{Cf}$) with $k_s = 0.2$

Calculation ($^{12}\text{C} + ^{236}\text{U} \rightarrow ^{248}\text{Cf}$) with $k_s = 0.2$



QUASIFISSION

(a) ${}^{32}\text{S} + {}^{208}\text{Pb}$ и (б) ${}^{28}\text{Si} + {}^{208}\text{Pb}$



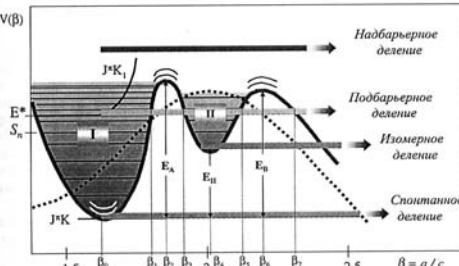
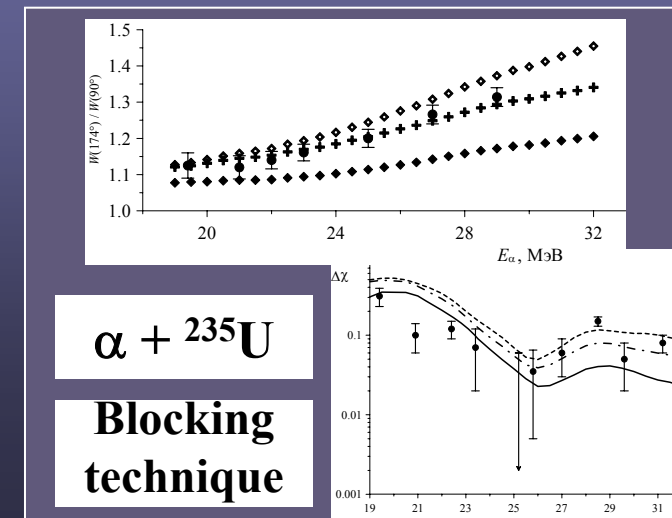
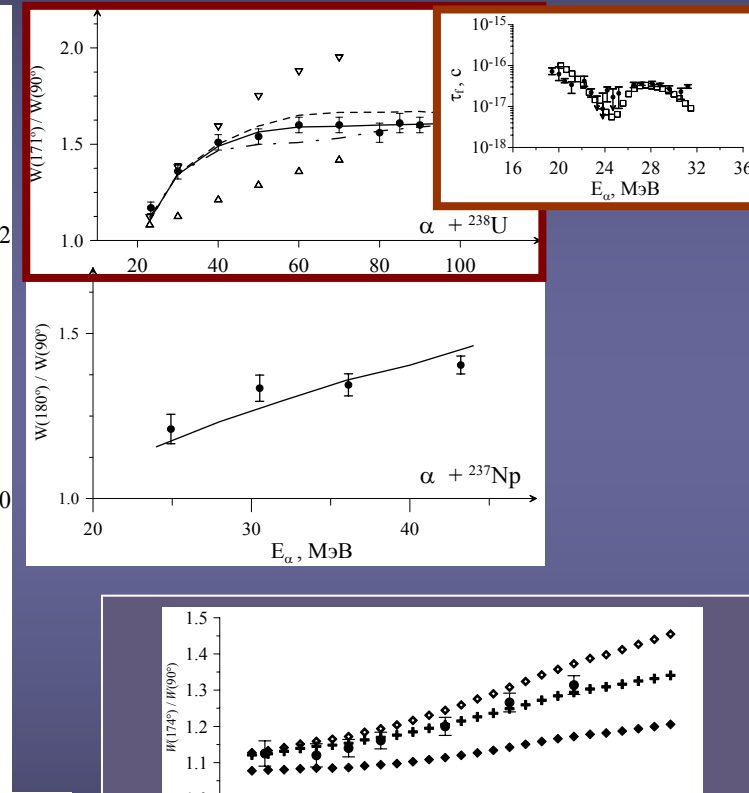
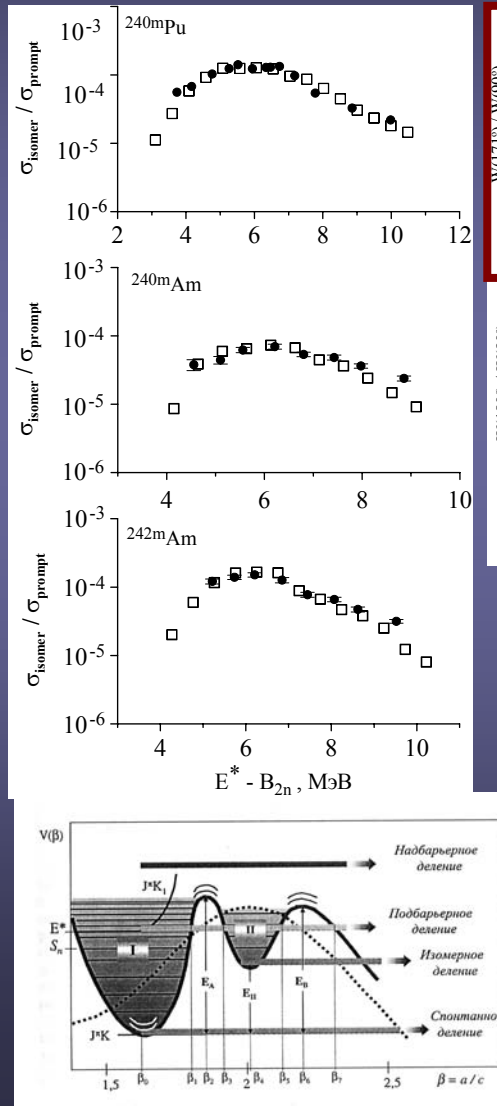
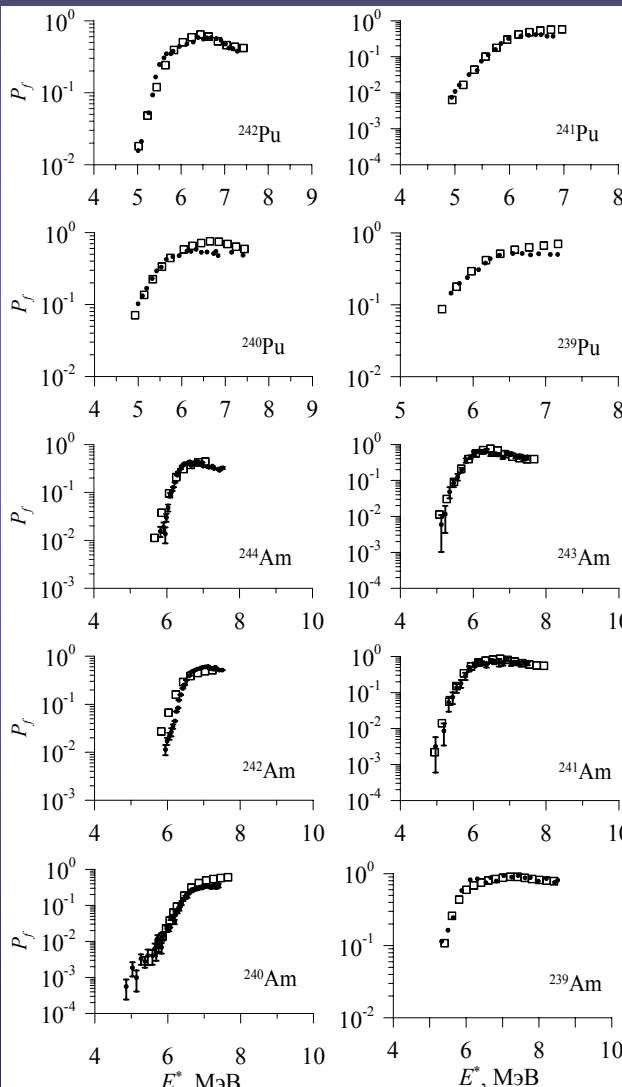
$$\tau_K \propto \frac{1}{\omega_{DNS}^2}$$

$$\tau_{DNS} = ?$$

Figure 2: Experimental angular distributions of fission fragments from the reaction ${}^{48}\text{Ca} + {}^{168}\text{Er}$ at $E_{\text{lab}} = 195$ MeV.

Согласованное описание экспериментальных данных по

- вероятностям деления ядер изотопов Pu и Am;
- выходам изомеров формы для реакций $\alpha + 238\text{U}$ при $E_\alpha = (20 \div 32) \text{ МэВ}$ и $d + 242,240\text{Pu}$ при $E_d = (20 \div 30) \text{ МэВ}$;
- длительностям деления для реакции $\alpha + 238\text{U}$ при $E_\alpha = (20 \div 32) \text{ МэВ}$;
- угловым распределениям осколков деления для реакций $\alpha + 238\text{U}, 237\text{Np}$ при $E_\alpha = (20 \div 100) \text{ МэВ}$



$\alpha + 235\text{U}$

Blocking
technique

INITIAL CONDITIONS

$$\Phi(r, p, J, K, M) = \frac{1}{\sqrt{2\pi mT}} \exp\left(-\frac{p^2}{2mT}\right) \delta(r - r_o) w(J, K, M)$$

$$w(J, K, M) = \frac{d\sigma}{dJ} w_J(K, M)$$

Wong model for $\frac{d\sigma}{dJ}$

